

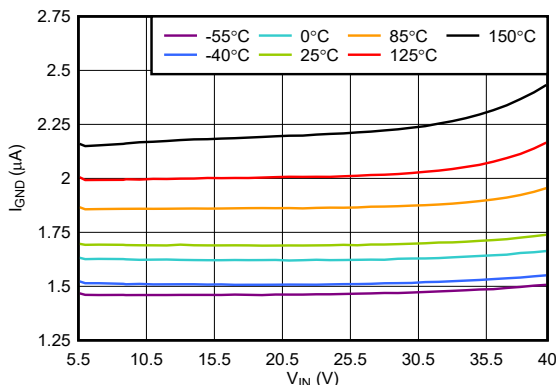
TPS7B92 300mA、40V、1.8 μ A I_Q 低压降线性稳压器

1 特性

- 输入电压范围：2.5V 至 40V
- 可配置的输出电压选项：
 - 固定：1.2V 至 12V
 - 可调节：1.205V 至 $V_{IN} - V_{DO}$
- 输出电流：300mA
- 超低 I_Q ： $I_{OUT} = 0\text{mA}$ 时为 1.8 μA
- 输出电容器 $\geq 1.0\ \mu\text{F}$ 时保持稳定
- 高电源抑制比 (PSRR)：
 - 1kHz 时为 70dB
 - 100kHz 时为 43dB
- 折返电流限制
- 过热保护
- 封装：
 - 5 引脚 SOT-23 (DBV)
- 工作结温：-40°C 至 +125°C

2 应用

- 电器
- 家庭和楼宇自动化
- 零售自动化和支付
- 电网基础设施
- 医疗应用
- 照明应用



I_{GND} 与 V_{IN} ($V_{OUT} = 5.0\text{V}$ 、 $I_{OUT} = 0\text{mA}$) 间的关系

3 说明

TPS7B92 低压降 (LDO) 线性稳压器是一款低静态电流器件。TPS7B92 在小型化封装中提供宽输入电压范围 (高达 40V)、宽输出范围和低功耗运行。对于可调配置, 宽输出范围高达 $V_{IN} - V_{DO}$; 对于固定配置, 宽输出范围高达 12V。

TPS7B92 经过优化, 可为电池供电应用的微控制器和其他低功耗负载供电。TPS7B92 在输出电容范围介于 1.0 μF 至 47 μF 之间时可保持稳定。

TPS7B92 具有低静态电流 (通常为 1.8 μA), 非常适合由电池供电且要求极低空闲功率耗散的常开系统。

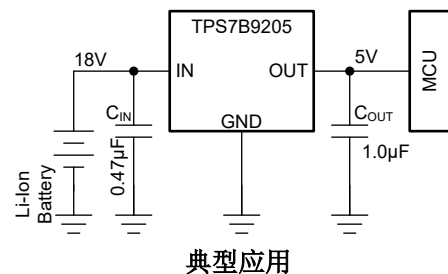
TPS7B92 LDO 在 150mA 负载电流下支持典型值为 900mV 的低压降。TPS7B92 还具有内部软启动功能, 可在启动期间降低浪涌电流。内置折返过流限制保护和热关断有助于在发生负载短路或故障条件时保护稳压器。

TPS7B92 采用 2.9mm \times 2.8mm、5 引脚 SOT-23 (DBV) 封装 (对于固定和可调输出)。

封装信息

器件型号	封装 ⁽¹⁾	封装尺寸 ⁽²⁾
TPS7B92	DBV (SOT-23, 5)	2.9mm \times 2.8mm

- (1) 如需更多信息, 请参阅 [机械、封装和可订购信息](#)。
 (2) 封装尺寸 (长 \times 宽) 为标称值, 并包括引脚 (如适用)。



典型应用



内容

1 特性	1	7 应用和实施	19
2 应用	1	7.1 应用信息.....	19
3 说明	1	7.2 典型应用.....	19
4 引脚配置和功能	3	7.3 优秀设计实践.....	27
5 规格	4	7.4 电源相关建议.....	27
5.1 绝对最大额定值.....	4	7.5 布局.....	27
5.2 ESD 等级.....	4	8 器件和文档支持	29
5.3 建议运行条件.....	5	8.1 器件支持.....	29
5.4 热性能信息.....	5	8.2 文档支持.....	29
5.5 电气特性.....	5	8.3 接收文档更新通知.....	29
5.6 典型特性.....	7	8.4 支持资源.....	29
6 详细说明	16	8.5 商标.....	29
6.1 概述.....	16	8.6 静电放电警告.....	29
6.2 功能方框图.....	16	8.7 术语表.....	29
6.3 特性说明.....	17	9 修订历史记录	30
6.4 器件功能模式.....	18	10 机械、封装和可订购信息	30

4 引脚配置和功能

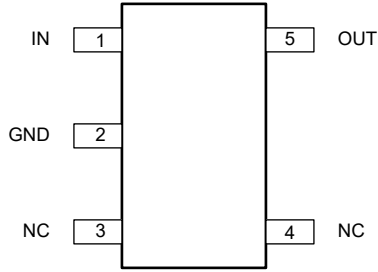


图 4-1. DBV 封装 (固定), 5 引脚 SOT-23 (顶视图)

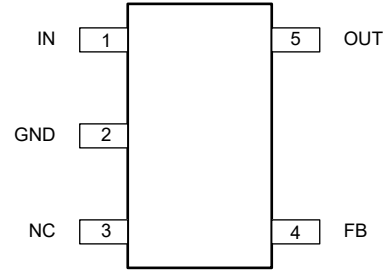


图 4-2. DBV 封装 (可调节), 5 引脚 SOT-23 (顶视图)

表 4-1. 引脚功能

引脚			类型	说明
名称	DBV (固定)	DBV (可调节)		
GND	2	2	—	接地引脚。
IN	1	1	I	输入电源引脚。更多信息, 请参阅 建议运行条件 表和 输入和输出电容器要求 部分。
OUT	5	5	O	稳压器的输出。更多信息, 请参阅 建议运行条件 表和 输入和输出电容器要求 部分。
FB	—	4	I	在可调节配置中, 该引脚借助反馈分压器设置输出电压。
NC	3、4	3	—	无内部连接。保持该引脚断开或连接到任何电位。将该引脚接地以提高热性能。

5 规格

5.1 绝对最大额定值

在自然通风条件下的工作温度范围内测得（除非另有说明）⁽¹⁾

		最小值	最大值	单位
电压 ⁽²⁾	V_{IN}	-0.3	42	V
	V_{OUT} (仅适用于固定器件)	-0.3	$2 \times V_{OUT(typ)}$ 或 $V_{IN} + 0.3$ 或 15 (以较低者为准) ⁽²⁾	
	V_{OUT} (仅适用于可调节器件)	-0.3	42V 或 $V_{IN} + 0.3V$ (以较低者为准)	
	V_{FB}	-0.3	3.6	
功率耗散 ^{(3) (4)}	SOT-23 (DBV)	$T_A = -55^\circ\text{C}$	1.775	W
		$T_A = +25^\circ\text{C}$	1.375	
		$T_A = +125^\circ\text{C}$	0.875	
电流	V_{OUT}	受内部限制		A
温度	工作结温, T_J	-55	125	°C
	贮存温度, T_{stg}	-65	150	

- 超出绝对最大额定值运行可能会对器件造成永久损坏。绝对最大额定值并不表示器件在这些条件下或在建议运行条件以外的任何其他条件下能够正常运行。如果超出建议运行条件但在绝对最大额定值范围内使用，器件可能不会完全正常运行，这可能影响器件的可靠性、功能和性能并缩短器件寿命。
- 所有电压值都是以接地端子为基准。
- 功率耗散额定值定义为稳压器在 24 小时内耗散的持续峰值功率。该额定值表示稳压器在连续运行过程中在不安全运行限制的情况下所处理的最大热能量。
- 绝对最大额定值中提到的功率耗散值已安装在 PCB 上，仅供参考。PCB 配置基于 2s2p 配置的 JEDEC 标准 (EIA/JESD51-x)。

5.2 ESD 等级

		值	单位
$V_{(ESD)}$	静电放电	人体放电模型 (HBM), 符合 ANSI/ESDA/JEDEC JS-001 标准, 所有引脚 ⁽¹⁾	±750
		充电器件模型 (CDM), 符合 JEDEC 规范 JESD22-C101, 所有引脚 ⁽²⁾	±500

- JEDEC 文档 JEP155 规定：500V HBM 可实现在标准 ESD 控制流程下安全生产。
- JEDEC 文档 JEP157 规定：250V CDM 可实现在标准 ESD 控制流程下安全生产。

5.3 建议运行条件

在工作结温范围内测得 (除非另有说明)

		最小值	标称值	最大值	单位
V _{IN}	输入电源电压	2.5		40	V
V _{OUT}	输出电压 ⁽¹⁾	1.2		38	V
I _{OUT}	输出电流	0		300	mA
C _{IN}	输入电容器 ⁽²⁾		0.47		μF
C _{OUT}	输出电容器 ⁽³⁾	1		47	μF
T _J	工作结温	-40		125	°C

- (1) 所有电压均以接地 (GND) 为基准。
- (2) 不需要输入电容器即可实现 LDO 稳定性。但是, 建议使用最小有效值为 0.1 μF 的输入电容来抵消源电阻和电感的影响, 在某些情况下, 这可能会导致系统级不稳定的症状 (例如振铃或振荡), 尤其是在存在负载瞬变的情况下。
- (3) 列出的所有电容值均为标称值, 假设有效电容降额至标称电容值的 50%。

5.4 热性能信息

热指标 ⁽¹⁾		TPS7B92	单位
		DBV (SOT-23) ⁽²⁾	
		5 引脚	
R _{θJA}	结至环境热阻	207.0	°C/W
R _{θJC(top)}	结至外壳 (顶部) 热阻	104.7	°C/W
R _{θJB}	结至电路板热阻	73.6	°C/W
Ψ _{JT}	结至顶部特征参数	40.6	°C/W
Ψ _{JB}	结至电路板特征参数	73.2	°C/W
R _{θJC(bot)}	结至外壳 (底部) 热阻	不适用	°C/W

- (1) 有关新旧热指标的更多信息, 请参阅 [半导体和 IC 封装热指标](#) 应用手册。
- (2) 热性能结果基于 2s2p PCB 配置的 JEDEC 标准。根据热优化型 PCB 布局设计, 这些热指标参数可进一步提高 35-55%。请参阅 [电路板布局布线对 LDO 热性能的影响](#) 应用手册的分析。

5.5 电气特性

在工作结温范围 (T_J = -40°C 至 +125°C) 内、V_{IN} = 2.5V 或 V_{IN} = V_{OUT(nom)} + 0.5V (以较大者为准)、C_{IN} = 1μF、C_{OUT} = 1μF 且 I_{OUT} = 1mA 条件下测得 (除非另有说明) ; 典型值在 T_J = 25°C 条件下测得⁽¹⁾

参数		测试条件	最小值	典型值	最大值	单位
V _{IN}	输入电压		2.5		40	V
I _{OUT} ⁽²⁾⁽³⁾	最大输出电流			300		mA
V _{FB}	反馈电压	V _{OUT} + 3.8V ≤ V _{IN} ≤ 40V, T _J = 25°C	1.169	1.205	1.237	V
		V _{OUT} + 3.8V ≤ V _{IN} ≤ 40V, -40°C ≤ T _J ≤ 125°C	1.169	1.205	1.237	
V _{OUT}	输出电压	V _{OUT} = 1.8V	V _{IN} = V _{OUT} + 3.8V, 100μA ≤ I _{OUT} ≤ 300mA, T _J = 25°C	-3.0	4.5	%
		V _{OUT} = 3.3V		-2.75	4.25	
		V _{OUT} = 5.0V		-3.75	4.25	
		V _{OUT} = 12V		-5.25	5.25	
		V _{OUT} = 1.8V	V _{IN} = V _{OUT} + 3.8V, 100μA ≤ I _{OUT} ≤ 300mA, -40°C ≤ T _J ≤ 125°C	-3.75	5.0	
		V _{OUT} = 3.3V		-3.5	5.0	
		V _{OUT} = 5.0V		-4.25	4.75	
		V _{OUT} = 12V		-5.75	5.75	
Δ V _{OUT} /V _{IN}	线路调节	I _{OUT} = 1mA, V _{OUT} + 1V ≤ V _{IN} ≤ 40V		0.000 05	0.007	%/V

5.5 电气特性 (续)

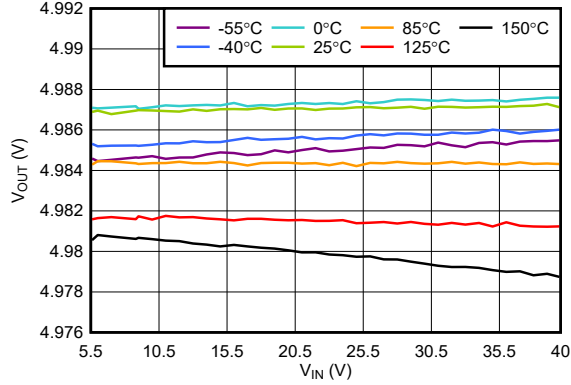
在工作结温范围 ($T_J = -40^{\circ}\text{C}$ 至 $+125^{\circ}\text{C}$) 内、 $V_{IN} = 2.5\text{V}$ 或 $V_{IN} = V_{OUT(nom)} + 0.5\text{V}$ (以较大者为准)、 $C_{IN} = 1\mu\text{F}$ 、 $C_{OUT} = 1\mu\text{F}$ 且 $I_{OUT} = 1\text{mA}$ 条件下测得 (除非另有说明)；典型值在 $T_J = 25^{\circ}\text{C}$ 条件下测得⁽¹⁾

参数		测试条件	最小值	典型值	最大值	单位
$\Delta V_{OUT}/I_{OUT}$	负载调节	$V_{IN} = V_{OUT} + 2\text{V}$, $100\mu\text{A} \leq I_{OUT} \leq 150\text{mA}$		0.1		%/A
$\Delta V_{OUT}/I_{OUT}$	负载调节	$V_{IN} = V_{OUT} + 3.8\text{V}$, $100\mu\text{A} \leq I_{OUT} \leq 300\text{mA}$		0.3		%/A
V_{DO}	压降电压	$I_{OUT} = 50\text{mA}$		440	700	mV
V_{DO}	压降电压	$I_{OUT} = 150\text{mA}$		1100	1800	mV
V_{DO}	压降电压	$I_{OUT} = 300\text{mA}$		2175	3700	mV
I_{LIM}	输出电流限制	$V_{OUT} = 0.90 \cdot V_{OUT(nom)}$, $V_{IN} = V_{OUT(nom)} + 9\text{V}$	320	530	740	mA
I_{SC}	短路电流限制	$V_{OUT} = 0\text{V}$, $V_{IN} = V_{OUT(nom)} + 6\text{V}$	75	175	290	mA
I_{GND}	GND 引脚电流	$V_{IN} = V_{OUT(nom)} + 0.5\text{V}$, $I_{OUT} = 0\text{mA}$, $T_J = 25^{\circ}\text{C}$ (固定)		1.7	2.65	μA
		$V_{IN} = V_{OUT(nom)} + 0.5\text{V}$, $I_{OUT} = 0\text{mA}$, $T_J = 25^{\circ}\text{C}$ (可调节)		1.3	2.65	
		$V_{IN} = V_{OUT(nom)} + 0.5\text{V}$, $I_{OUT} = 0\text{mA}$, $T_J = -40^{\circ}\text{C}$ 至 85°C			2.9	
		$V_{IN} = V_{OUT(nom)} + 0.5\text{V}$, $I_{OUT} = 0\text{mA}$, $T_J = -40^{\circ}\text{C}$ 至 125°C			3	
		$V_{IN} = V_{OUT(nom)} + 0.5\text{V}$, $I_{OUT} = 100\mu\text{A}$ (固定)		2.8		
		$V_{IN} = V_{OUT(nom)} + 0.5\text{V}$, $I_{OUT} = 100\mu\text{A}$ (可调节)		2.4		
I_{GND}	GND 引脚电流	$V_{IN} = V_{OUT(nom)} + 3.8\text{V}$, $I_{OUT} = 300\text{mA}$		250		μA
I_{FB}	FB 引脚漏电流	$V_{IN} = 40\text{V}$			25	nA
PSRR	电源纹波抑制	$V_{IN} = V_{OUT(nom)} + 1\text{V}$, $I_{OUT} = 50\text{mA}$, $C_{OUT} = 0.47\mu\text{F}$, $f = 10\text{kHz}$		55		dB
		$V_{IN} = V_{OUT(nom)} + 1\text{V}$, $I_{OUT} = 50\text{mA}$, $C_{OUT} = 0.47\mu\text{F}$, $f = 100\text{kHz}$		43		
V_n	输出噪声电压	带宽 = 10Hz 至 100kHz、 $V_{IN} = V_{OUT(nom)} + 3.8\text{V}$ 、 $I_{OUT} = 300\text{mA}$ 、 $C_{OUT} = 1\mu\text{F}$		525		μV_{RMS}
T_{sd+}	热关断升温	关断, 温度升高		160		$^{\circ}\text{C}$
T_{sd-}	热关断降温	复位, 温度降低		140		$^{\circ}\text{C}$
$t_{sup}^{(4)}$	启动时间			400		μs

- (1) 脉冲测试技术被用来保持虚拟结温尽可能接近环境温度；将热效应单独考虑在内。
- (2) 稳压器上较高的功率耗散会导致热关断电路激活，从而阻止达到最大输出电流。
- (3) 支持的最大功率耗散额定值在绝对最大额定值表中列出。超过这些额定值会导致稳压器出现永久性的 SOA 损坏。
- (4) 测得的启动时间为 $t = 0$ (V_{IN} 以大于 $1\text{V}/\mu\text{s}$ 的压摆率斜升时) 与 V_{OUT} 达到 $V_{OUT(nom)}$ 值 95% 的时间之间的差值。

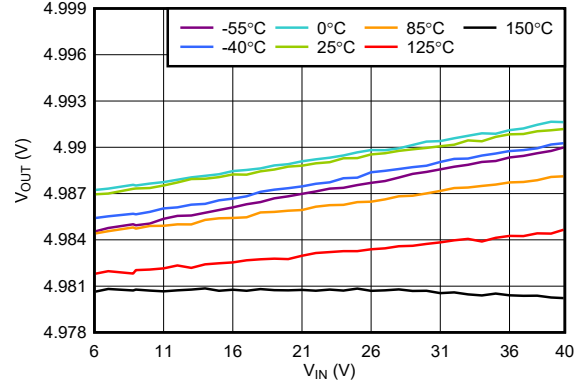
5.6 典型特性

在工作结温 $T_J = 25^\circ\text{C}$ 、 $V_{IN} = 2.5\text{V}$ 或 $V_{IN} = V_{OUT}(\text{nom}) + 0.5\text{V}$ (以较大者为准)、 $C_{IN} = 1\mu\text{F}$ 、 $C_{OUT} = 1\mu\text{F}$ 且 $I_{OUT} = 1\text{mA}$ 条件下 (除非另有说明)



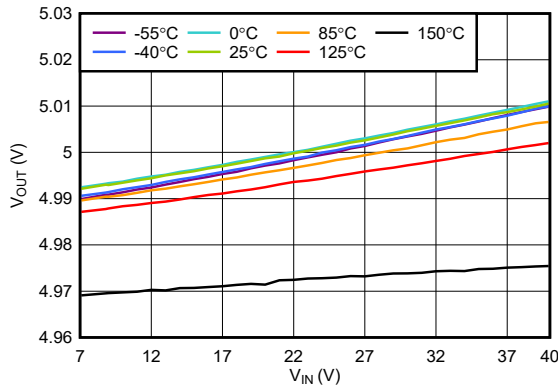
$V_{OUT} = 5.0\text{V}$, $I_{OUT} = 10\text{mA}$

图 5-1. V_{OUT} 与 V_{IN} 间的关系



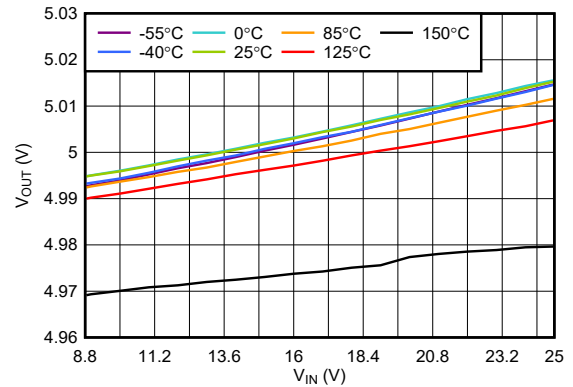
$V_{OUT} = 5.0\text{V}$, $I_{OUT} = 50\text{mA}$

图 5-2. V_{OUT} 与 V_{IN} 间的关系



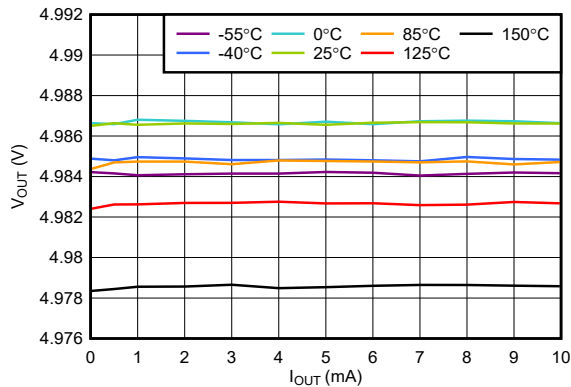
$V_{OUT} = 5.0\text{V}$, $I_{OUT} = 150\text{mA}$

图 5-3. V_{OUT} 与 V_{IN} 间的关系



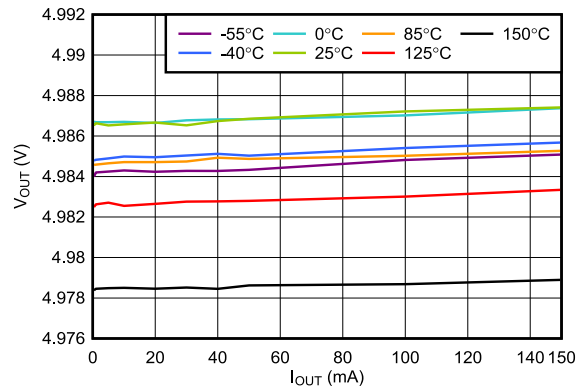
$V_{OUT} = 5.0\text{V}$, $I_{OUT} = 300\text{mA}$

图 5-4. V_{OUT} 与 V_{IN} 间的关系



$V_{IN} = 5.5\text{V}$, $V_{OUT} = 5.0\text{V}$

图 5-5. V_{OUT} 与 I_{OUT} 间的关系

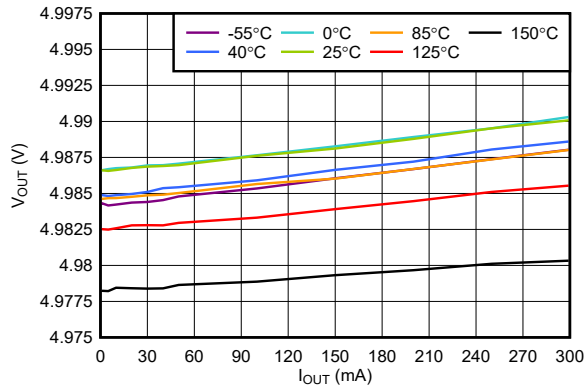


$V_{IN} = 7.0\text{V}$, $V_{OUT} = 5.0\text{V}$

图 5-6. V_{OUT} 与 I_{OUT} 间的关系

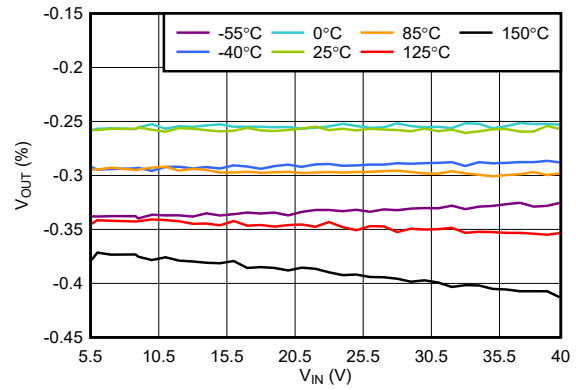
5.6 典型特性 (续)

在工作结温 $T_J = 25^\circ\text{C}$ 、 $V_{IN} = 2.5\text{V}$ 或 $V_{IN} = V_{OUT}(\text{nom}) + 0.5\text{V}$ (以较大者为准)、 $C_{IN} = 1\mu\text{F}$ 、 $C_{OUT} = 1\mu\text{F}$ 且 $I_{OUT} = 1\text{mA}$ 条件下 (除非另有说明)



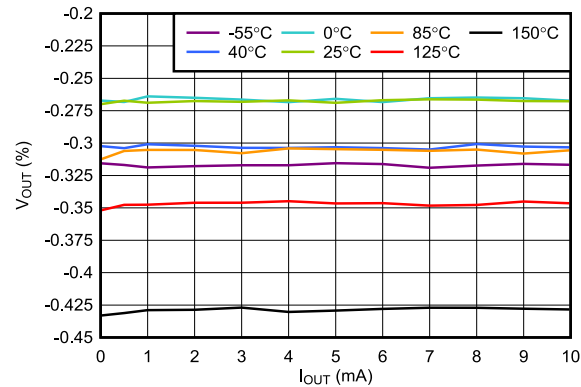
$V_{IN} = 8.8\text{V}$, $V_{OUT} = 5.0\text{V}$

图 5-7. V_{OUT} 与 I_{OUT} 间的关系



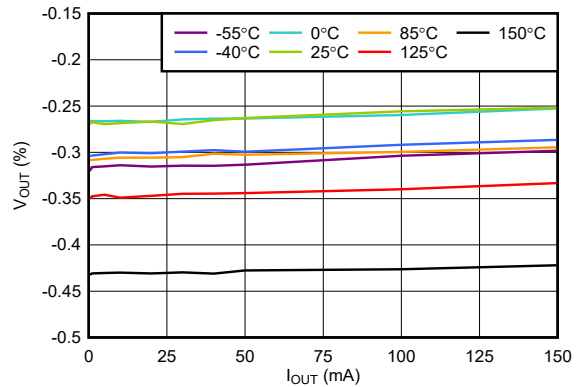
$V_{OUT} = 5.0\text{V}$, $I_{OUT} = 1.0\text{mA}$

图 5-8. V_{OUT} 精度与 V_{IN} 间的关系



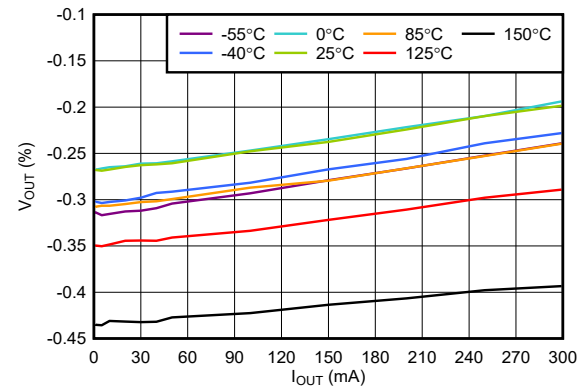
$V_{IN} = 5.5\text{V}$, $V_{OUT} = 5.0\text{V}$

图 5-9. V_{OUT} 精度与 I_{OUT} 间的关系



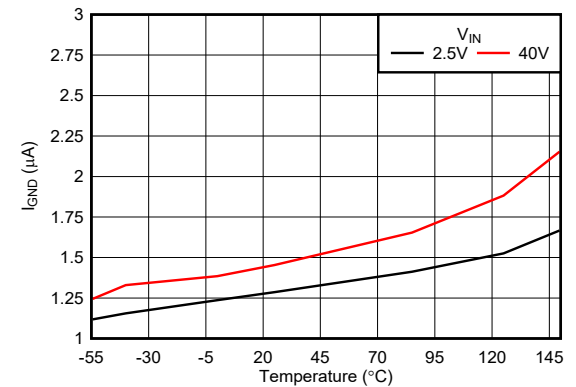
$V_{IN} = 7.0\text{V}$, $V_{OUT} = 5.0\text{V}$

图 5-10. V_{OUT} 精度与 I_{OUT} 间的关系



$V_{IN} = 8.8\text{V}$, $V_{OUT} = 5.0\text{V}$

图 5-11. V_{OUT} 精度与 I_{OUT} 间的关系

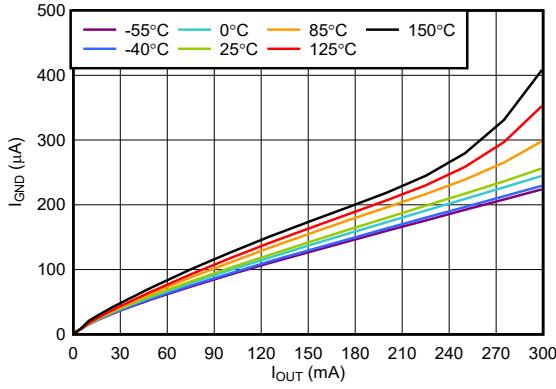


用于可调配置

图 5-12. I_{GND} 与温度间的关系

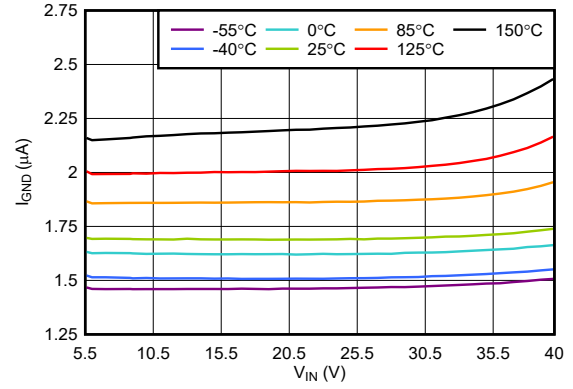
5.6 典型特性 (续)

在工作结温 $T_J = 25^\circ\text{C}$ 、 $V_{IN} = 2.5\text{V}$ 或 $V_{IN} = V_{OUT}(\text{nom}) + 0.5\text{V}$ (以较大者为准)、 $C_{IN} = 1\mu\text{F}$ 、 $C_{OUT} = 1\mu\text{F}$ 且 $I_{OUT} = 1\text{mA}$ 条件下 (除非另有说明)



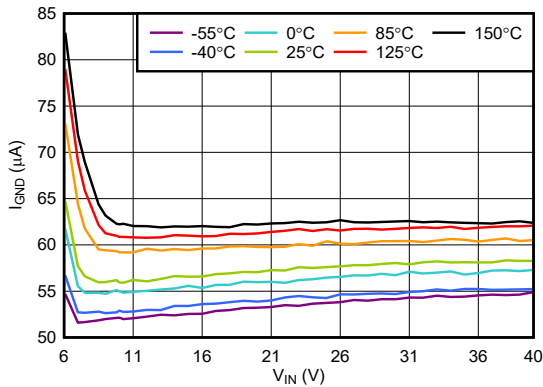
$V_{IN} = 8.8\text{V}$, $V_{OUT} = 5.0\text{V}$

图 5-13. I_{GND} 与 I_{OUT} 间的关系



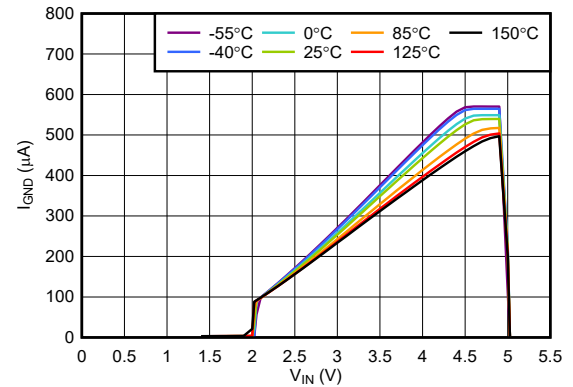
$V_{OUT} = 5.0\text{V}$, $I_{OUT} = 0\text{mA}$

图 5-14. I_{GND} 与 V_{IN} 间的关系



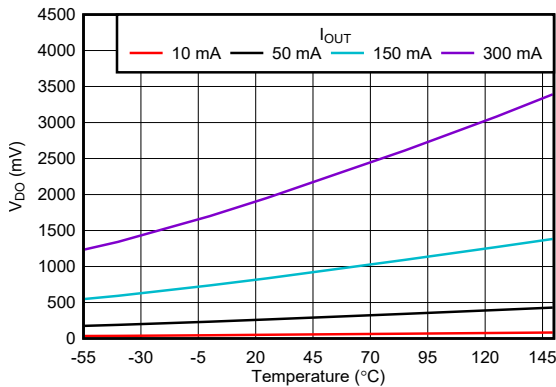
$V_{OUT} = 5.0\text{V}$, $I_{OUT} = 50\text{mA}$

图 5-15. I_{GND} 与 V_{IN} 间的关系



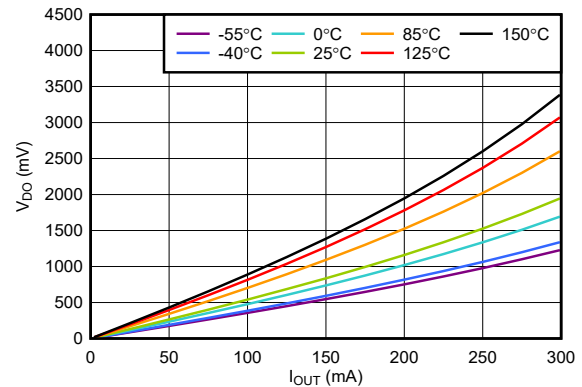
$V_{OUT} = 5.0\text{V}$, $I_{OUT} = 0\text{mA}$

图 5-16. I_{GND} 与 V_{IN} 间的关系 (压降运行)



$V_{OUT} = 5.0\text{V}$

图 5-17. 压降与温度间的关系

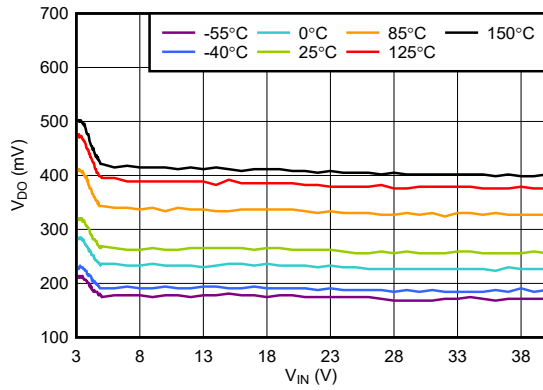


$V_{OUT} = 5.0\text{V}$

图 5-18. 压降与 I_{OUT} 间的关系

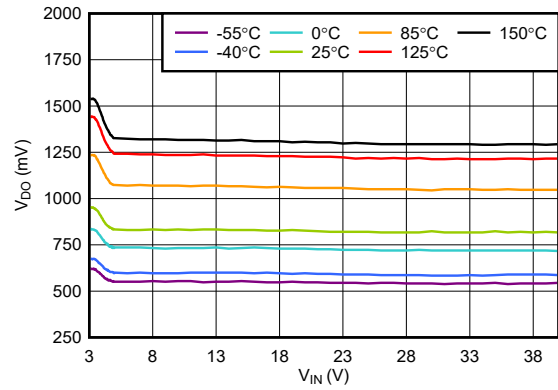
5.6 典型特性 (续)

在工作结温 $T_J = 25^\circ\text{C}$ 、 $V_{IN} = 2.5\text{V}$ 或 $V_{IN} = V_{OUT}(\text{nom}) + 0.5\text{V}$ (以较大者为准)、 $C_{IN} = 1\mu\text{F}$ 、 $C_{OUT} = 1\mu\text{F}$ 且 $I_{OUT} = 1\text{mA}$ 条件下 (除非另有说明)



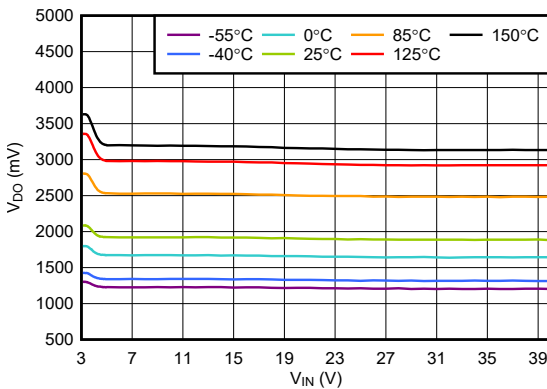
对于可调配置, $I_{OUT} = 50\text{mA}$

图 5-19. 压降与 V_{IN} 间的关系



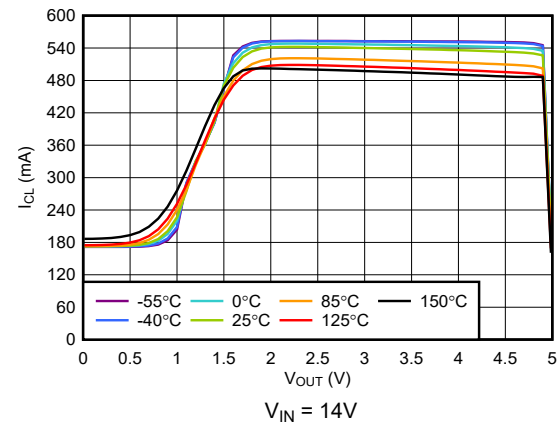
对于可调配置, $I_{OUT} = 150\text{mA}$

图 5-20. 压降与 V_{IN} 间的关系



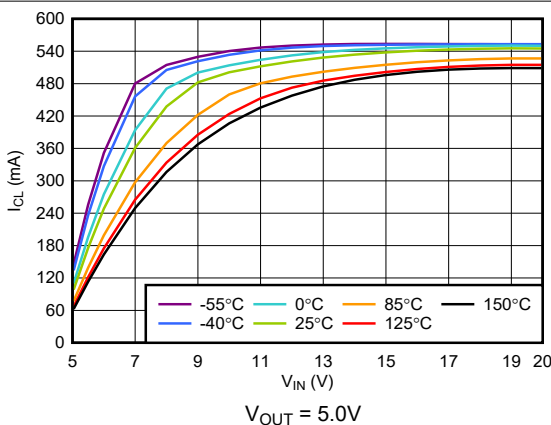
对于可调配置, $I_{OUT} = 300\text{mA}$

图 5-21. 压降与 V_{IN} 间的关系



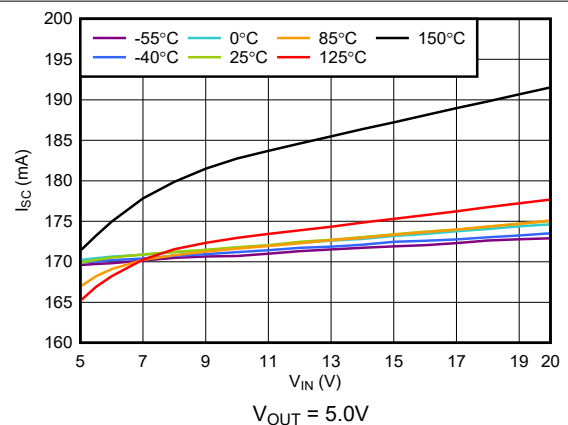
$V_{IN} = 14\text{V}$

图 5-22. 电流限值与 V_{OUT} 间的关系



$V_{OUT} = 5.0\text{V}$

图 5-23. 电流限值与 V_{IN} 间的关系

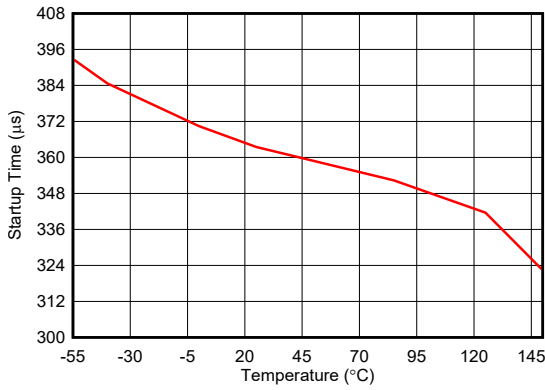


$V_{OUT} = 5.0\text{V}$

图 5-24. 电流限值与 V_{IN} 间的关系

5.6 典型特性 (续)

在工作结温 $T_J = 25^\circ\text{C}$ 、 $V_{IN} = 2.5\text{V}$ 或 $V_{IN} = V_{OUT}(\text{nom}) + 0.5\text{V}$ (以较大者为准)、 $C_{IN} = 1\mu\text{F}$ 、 $C_{OUT} = 1\mu\text{F}$ 且 $I_{OUT} = 1\text{mA}$ 条件下 (除非另有说明)



$V_{IN} = 5.5\text{V}$, $V_{OUT} = 5.0\text{V}$

图 5-25. 软启动时间与温度间的关系

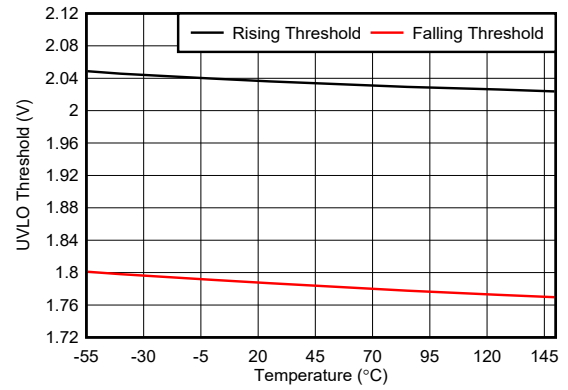
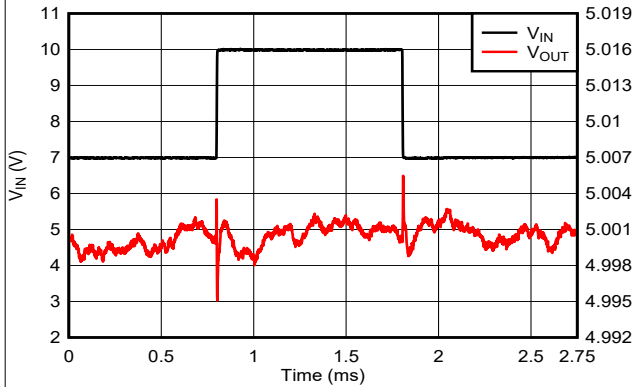
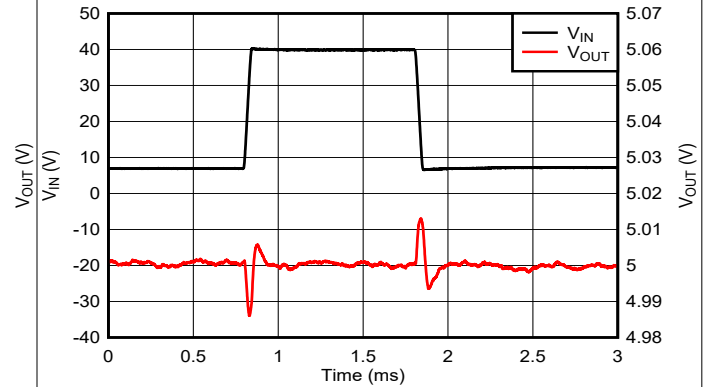


图 5-26. UVLO 阈值与温度间的关系



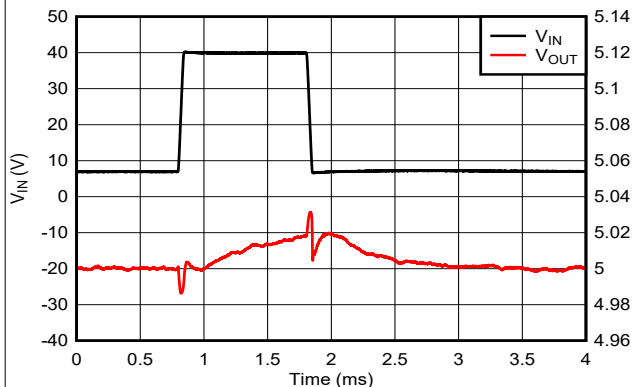
$V_{OUT} = 5.0\text{V}$, $I_{OUT} = 150\text{mA}$, $dV_{IN}/dt = 1\text{V}/\mu\text{s}$

图 5-27. V_{IN} 线路瞬态 (7V 至 10V)



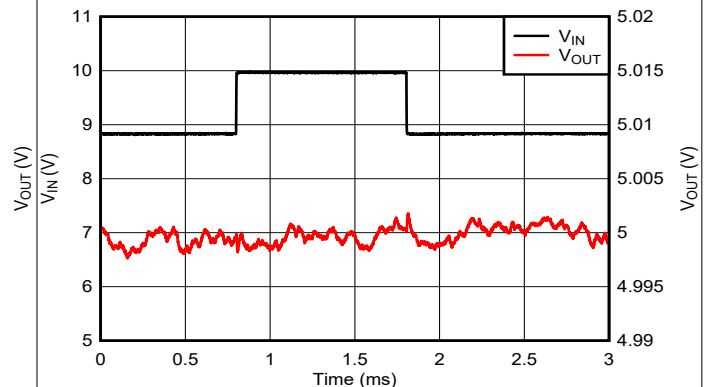
$V_{OUT} = 5.0\text{V}$, $I_{OUT} = 1\text{mA}$, $dV_{IN}/dt = 1\text{V}/\mu\text{s}$

图 5-28. V_{IN} 线路瞬态 (7V 至 40V)



$V_{OUT} = 5.0\text{V}$, $I_{OUT} = 150\text{mA}$, $dV_{IN}/dt = 1\text{V}/\mu\text{s}$

图 5-29. V_{IN} 线路瞬态 (7V 至 40V)

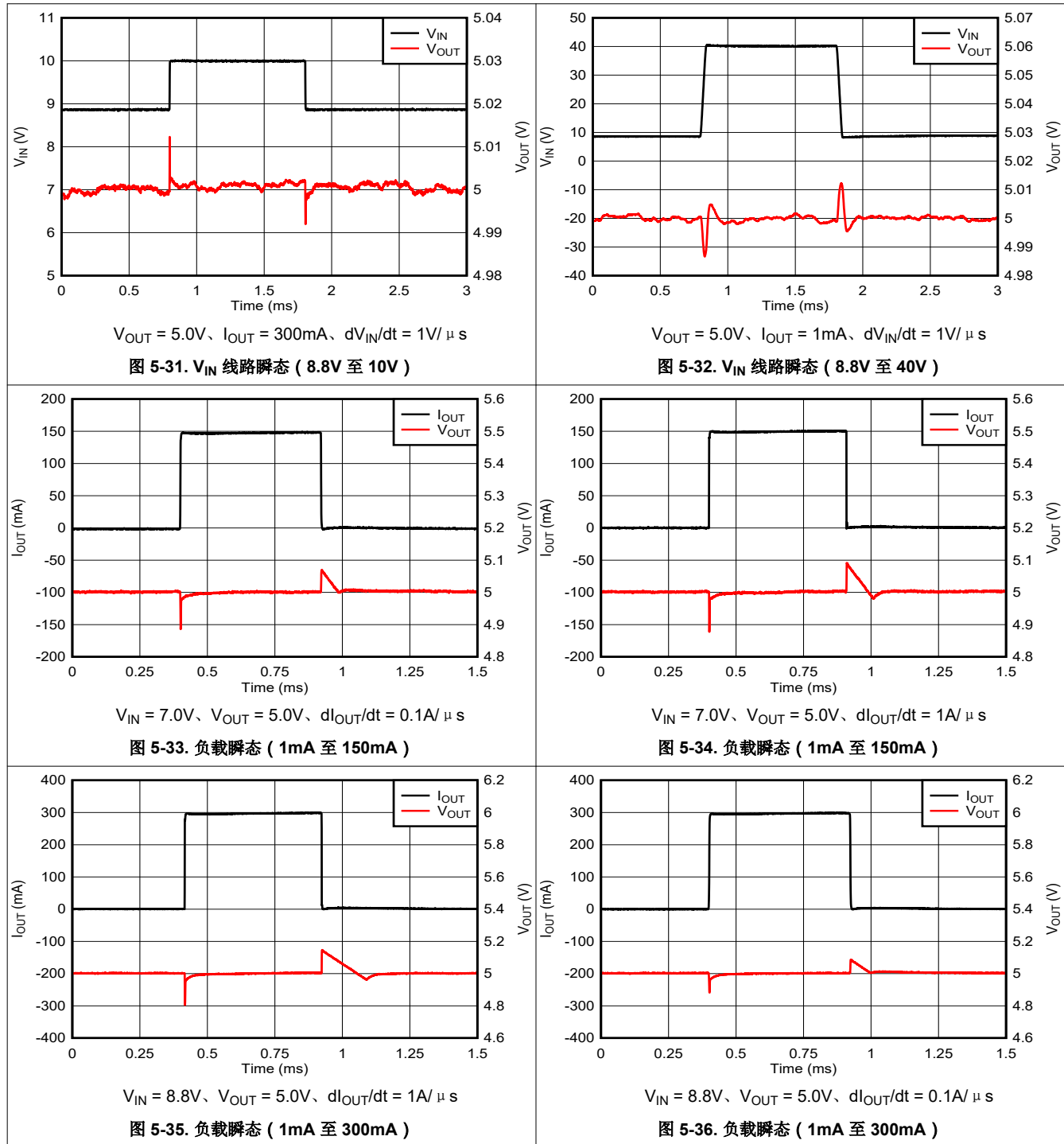


$V_{OUT} = 5.0\text{V}$, $I_{OUT} = 1\text{mA}$, $dV_{IN}/dt = 1\text{V}/\mu\text{s}$

图 5-30. V_{IN} 线路瞬态 (8.8V 至 10V)

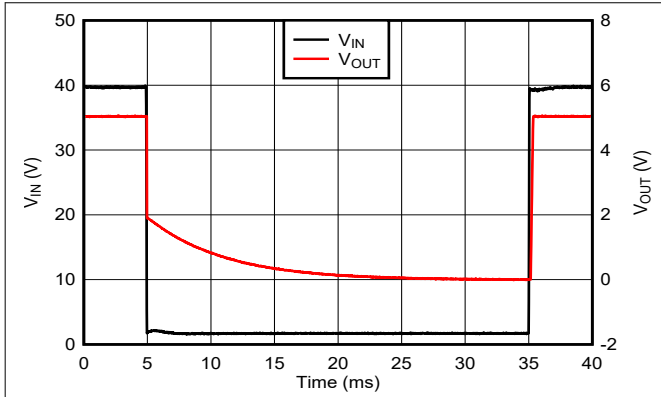
5.6 典型特性 (续)

在工作结温 $T_J = 25^\circ\text{C}$ 、 $V_{IN} = 2.5\text{V}$ 或 $V_{IN} = V_{OUT}(\text{nom}) + 0.5\text{V}$ (以较大者为准)、 $C_{IN} = 1\mu\text{F}$ 、 $C_{OUT} = 1\mu\text{F}$ 且 $I_{OUT} = 1\text{mA}$ 条件下 (除非另有说明)



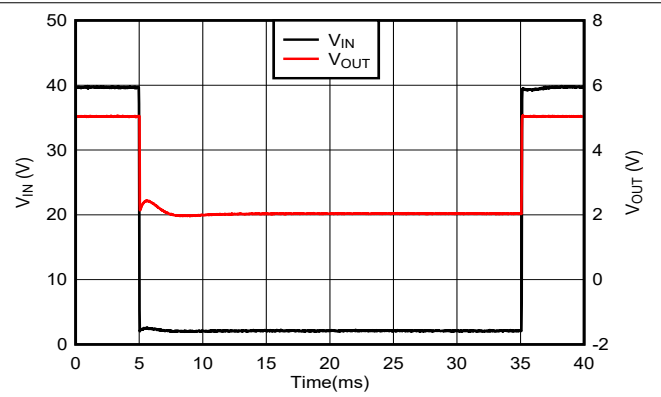
5.6 典型特性 (续)

在工作结温 $T_J = 25^\circ\text{C}$ 、 $V_{IN} = 2.5\text{V}$ 或 $V_{IN} = V_{OUT}(\text{nom}) + 0.5\text{V}$ (以较大者为准)、 $C_{IN} = 1\mu\text{F}$ 、 $C_{OUT} = 1\mu\text{F}$ 且 $I_{OUT} = 1\text{mA}$ 条件下 (除非另有说明)



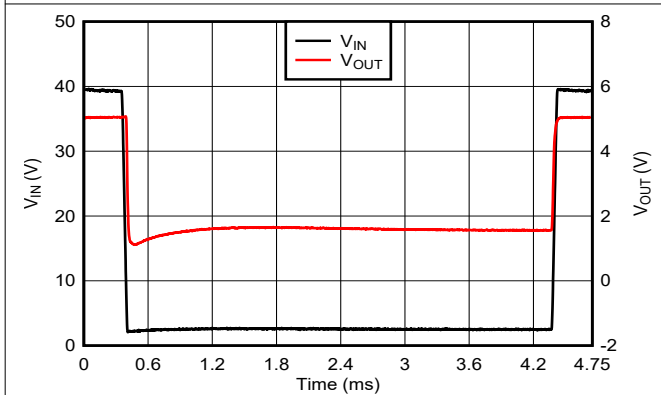
$V_{OUT} = 5.0\text{V}$ 、 $I_{OUT} = 1\text{mA}$ 、 $dV_{IN}/dt = 1\text{V}/\mu\text{s}$

图 5-37. 欠压瞬态 (40V 至 1.7V)



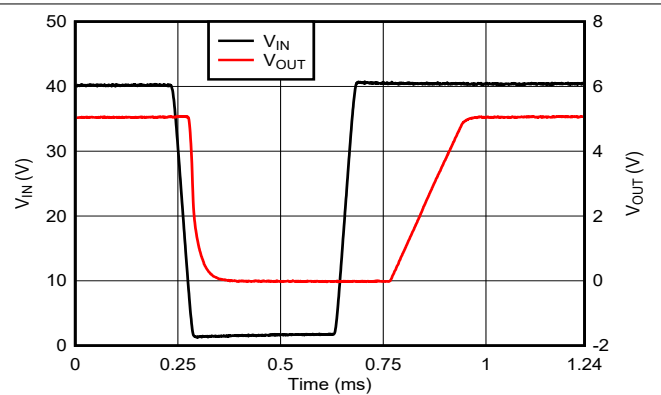
$V_{OUT} = 5.0\text{V}$ 、 $I_{OUT} = 1\text{mA}$ 、 $dV_{IN}/dt = 1\text{V}/\mu\text{s}$

图 5-38. 欠压瞬态 (40V 至 2.1V)



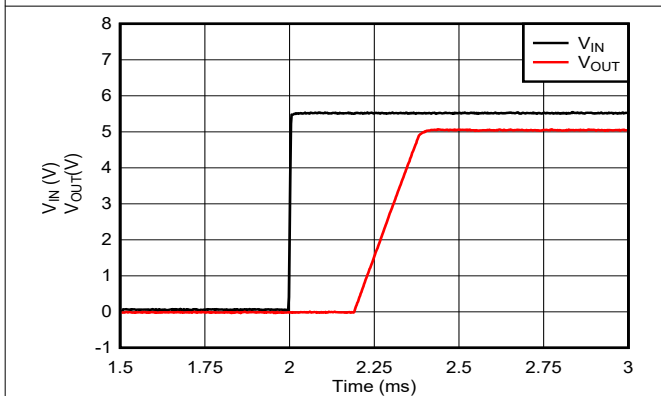
$V_{OUT} = 5.0\text{V}$ 、 $I_{OUT} = 300\text{mA}$ 、 $dV_{IN}/dt = 1\text{V}/\mu\text{s}$

图 5-39. 欠压瞬态 (40V 至 2.5V)



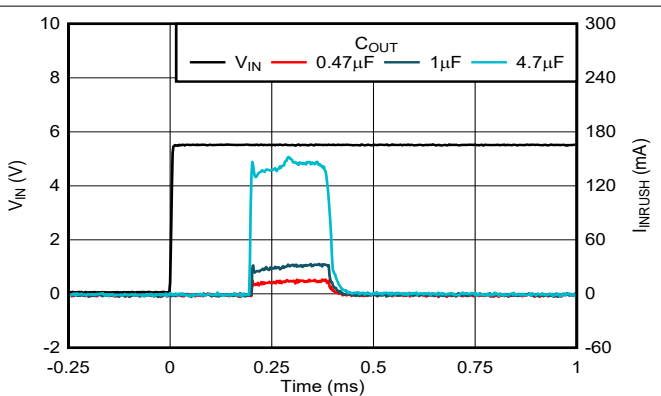
$V_{OUT} = 5.0\text{V}$ 、 $I_{OUT} = 300\text{mA}$ 、 $dV_{IN}/dt = 1\text{V}/\mu\text{s}$

图 5-40. 欠压瞬态 (40V 至 1.7V)



$V_{IN} = 5.5\text{V}$ 、 $V_{OUT} = 5.0\text{V}$ 、 $R_{OUT} = 5\text{k}\Omega$

图 5-41. 启动

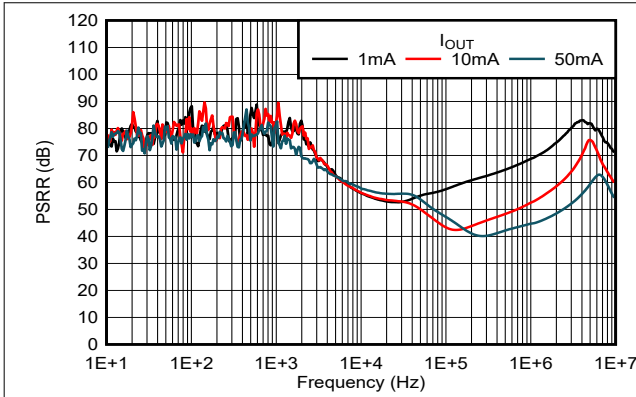


$V_{IN} = 5.5\text{V}$ 、 $V_{OUT} = 5.0\text{V}$

图 5-42. 浪涌电流与输出电容器间的关系

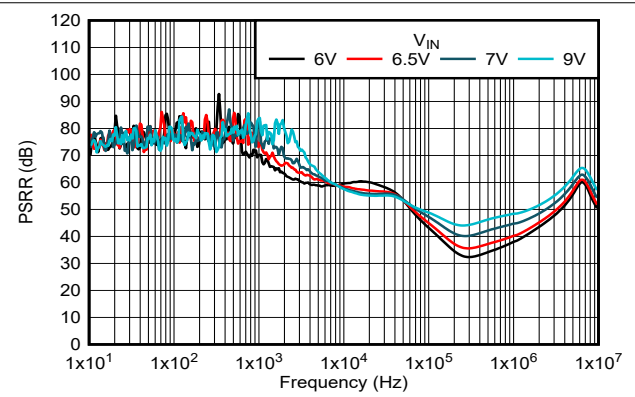
5.6 典型特性 (续)

在工作结温 $T_J = 25^\circ\text{C}$ 、 $V_{IN} = 2.5\text{V}$ 或 $V_{IN} = V_{OUT}(\text{nom}) + 0.5\text{V}$ (以较大者为准)、 $C_{IN} = 1\mu\text{F}$ 、 $C_{OUT} = 1\mu\text{F}$ 且 $I_{OUT} = 1\text{mA}$ 条件下 (除非另有说明)



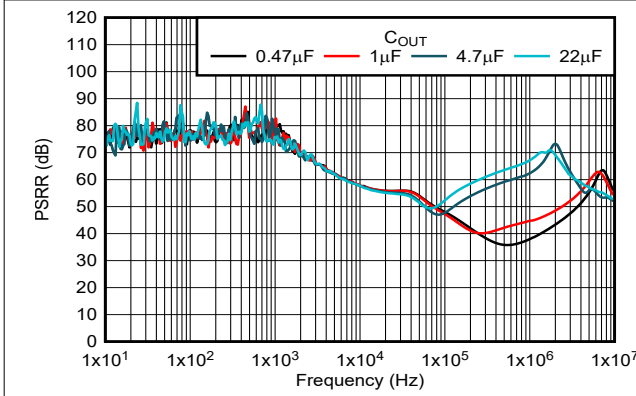
$V_{OUT} = 5.0\text{V}$, $C_{OUT} = 1\mu\text{F}$, $V_{IN} = 7\text{V}$

图 5-43. PSRR 与负载电流间的关系



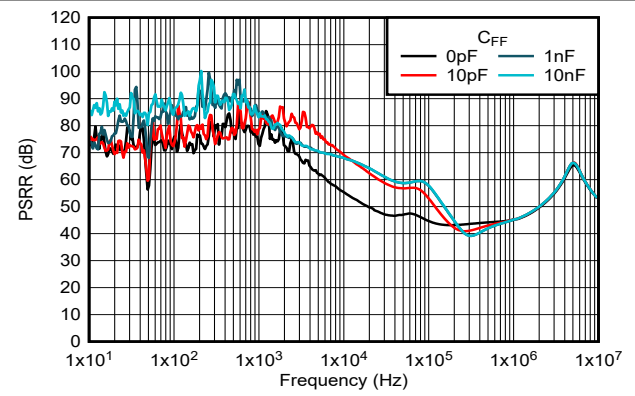
$V_{OUT} = 5.0\text{V}$, $C_{OUT} = 1\mu\text{F}$, $I_{OUT} = 50\text{mA}$

图 5-44. PSRR 与输入电源间的关系



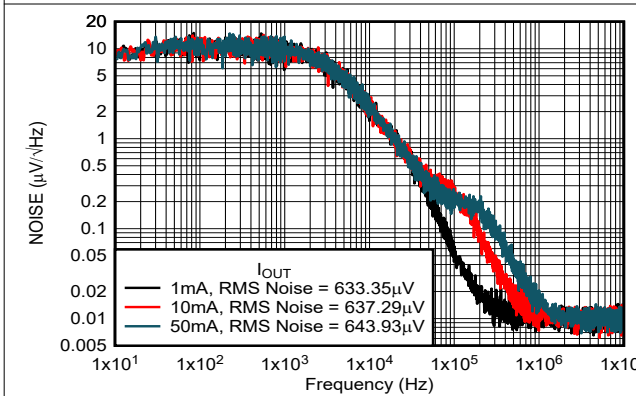
$V_{IN} = 7.0\text{V}$, $V_{OUT} = 5.0\text{V}$, $I_{OUT} = 50\text{mA}$

图 5-45. PSRR 与输出电容器间的关系



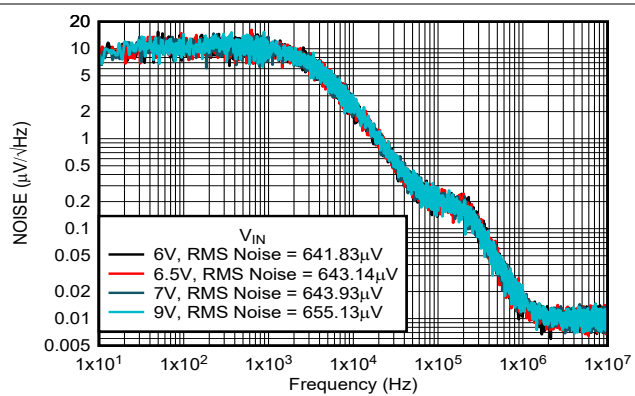
$V_{IN} = 7.0\text{V}$, $V_{OUT} = 5.0\text{V}$, $I_{OUT} = 50\text{mA}$, $C_{OUT} = 1\mu\text{F}$

图 5-46. PSRR 与前馈电容器间的关系



$V_{IN} = 7.0\text{V}$, $V_{OUT} = 5.0\text{V}$, $C_{OUT} = 1\mu\text{F}$

图 5-47. 噪声与负载电流间的关系



$V_{OUT} = 5.0\text{V}$, $I_{OUT} = 50\text{mA}$, $C_{OUT} = 1\mu\text{F}$

图 5-48. 噪声与输入电源间的关系

5.6 典型特性 (续)

在工作结温 $T_J = 25^\circ\text{C}$ 、 $V_{IN} = 2.5\text{V}$ 或 $V_{IN} = V_{OUT}(\text{nom}) + 0.5\text{V}$ (以较大者为准)、 $C_{IN} = 1\mu\text{F}$ 、 $C_{OUT} = 1\mu\text{F}$ 且 $I_{OUT} = 1\text{mA}$ 条件下 (除非另有说明)

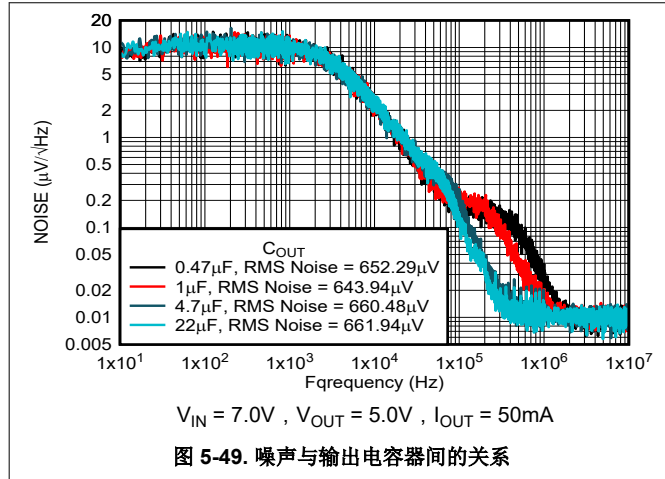


图 5-49. 噪声与输出电容器间的关系

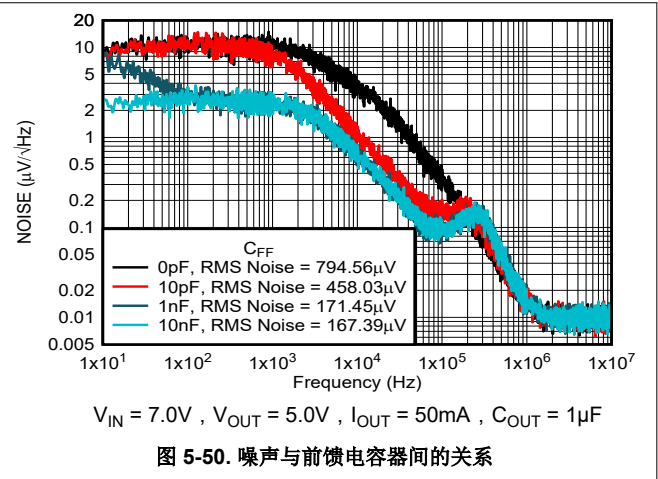


图 5-50. 噪声与前馈电容器间的关系

6 详细说明

6.1 概述

TPS7B92 低压降稳压器 (LDO) 在空载电流下仅消耗 1.8 μA (典型值) 的静态电流。该器件采用小型封装, 可提供宽输入电压范围 (2.5V 至 40V) 和宽输出范围。可调输出的宽输出范围为 1.2V 至 $V_{\text{IN}} - V_{\text{DO}}$ 。该器件在 1 μF 至 47 μF 的输出电容器范围内保持稳定。在整个负载电流范围内具有低静态电流, 这使得 TPS7B92 成为为电池供电型应用供电的理想选择。TPS7B92 具有内部软启动机制, 可通过受控浪涌电流实现均匀的启动。该 LDO 还在输出端的负载短路或故障情况下提供折返过流保护和热保护。

6.2 功能方框图

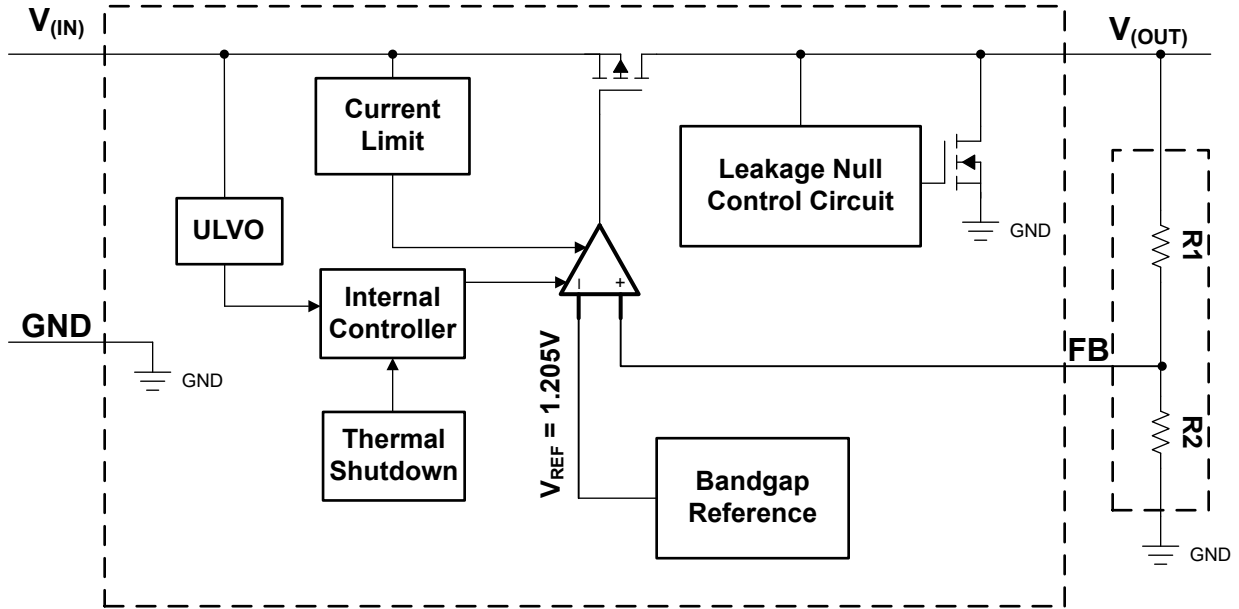


图 6-1. 功能方框图：可调节版本

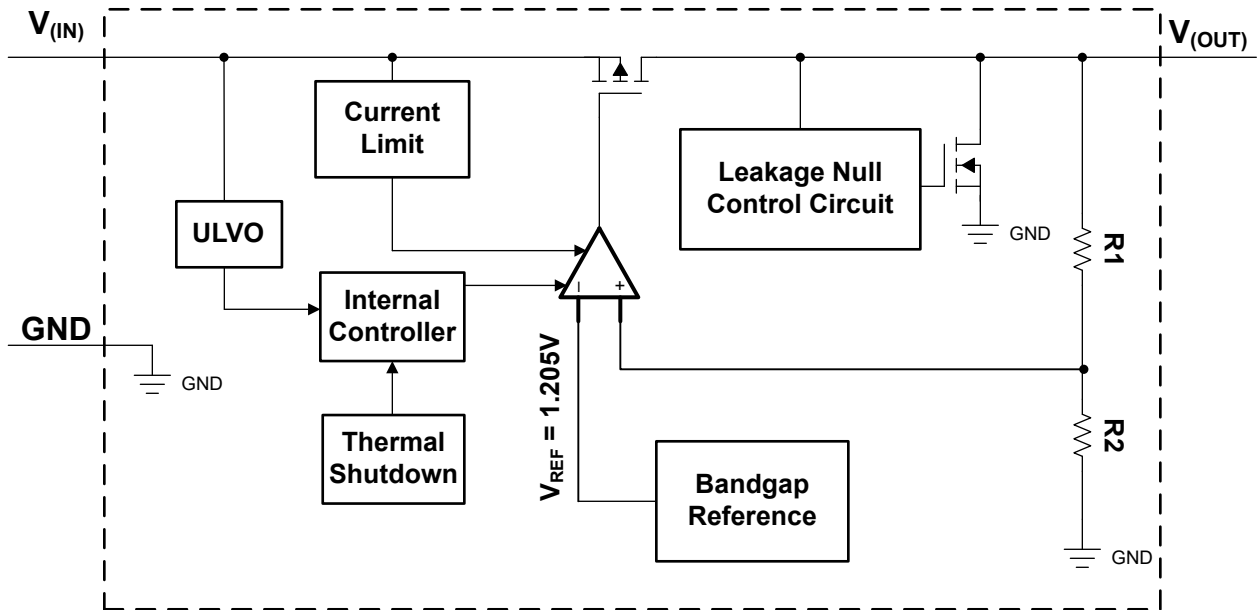


图 6-2. 功能方框图：固定版本

6.3 特性说明

6.3.1 宽电源电压

该器件的工作输入电源电压范围为 2.5V 至 40V，适用于各种应用。这种宽电源电压范围专为具有较大瞬变或高直流电压电源的应用而设计。

6.3.2 低静态电流

该器件在空载时只需要 1.8 μ A (典型值) 的静态电流。在室温下，LDO 消耗的电流不到满负载电流容量 (300mA) 的 0.1%。对于高于 1mA 的负载电流，TPS7B92 可将 I_Q 消耗控制在负载电流的 0.5% 以内，从而保持高效率。通过这种方式，器件能够保持良好的瞬态性能。

6.3.3 压降电压 (V_{DO})

压降电压 (V_{DO}) 在额定输出电流 (I_{RATED}) 下被定义为 $V_{IN} - V_{OUT}$ ，在这种情形下，导通晶体管完全导通。 $V_{IN} - V_{OUT}$ 为输入电压减去输出电压。 I_{RATED} 是 [建议运行条件](#) 表中列出的最大 I_{OUT} 。器件在压降模式下运行时，导通晶体管处于欧姆区域或三极管区域并充当开关。压降电压间接指定了一个最小输入电压，该电压大于输出电压预计保持稳定的标称编程输出电压。如果输入电压降至低于维持输出调节所需的值，输出电压也会下降。

对于 CMOS 稳压器，压降电压由导通晶体管的漏源导通状态电阻 ($R_{DS(ON)}$) 决定。因此，如果线性稳压器的的工作电流小于额定电流，该电流的压降电压会相应地变化。使用 [方程式 1](#) 计算器件的 $R_{DS(ON)}$ 。

$$R_{DS(ON)} = \frac{V_{DO}}{I_{RATED}} \quad (1)$$

6.3.4 电流限值

该器件具有内部电流限制电路，可在瞬态高负载电流故障或短路事件期间保护稳压器。电流限制是混合砖墙折返方案。电流限制在折返电压 ($V_{FOLDBACK}$) 下从砖墙式方案转换为折返方案。在输出电压高于 $V_{FOLDBACK}$ 的高负载电流故障中，砖墙方案将输出电流限制为电流限值 (I_{CL})。当电压降至 $V_{FOLDBACK}$ 以下时，将激活折返电流限制，在输出电压接近 GND 时按比例缩小电流。当输出短路时，该器件会提供一个被称为短路电流限制 (I_{SC}) 的典型电流。[电气特性](#) 表中列出了 I_{CL} 和 I_{SC} 。

对于此器件， $V_{FOLDBACK} = 50\% \times V_{OUT(nom)}$ 。

当器件处于限流状态时，不会调节输出电压。当发生电流限制事件时，由于功率耗散增加，器件开始发热。当器件处于砖墙式电流限制时，导通晶体管会耗散功率 $[(V_{IN} - V_{OUT}) \times I_{CL}]$ 。当器件输出短路且输出低于 $V_{FOLDBACK}$ 时，导通晶体管将耗散功率 $[(V_{IN} - V_{OUT}) \times I_{SC}]$ 。如果触发热关断，器件将关闭。器件冷却后，内部热关断电路将器件重新接通。如果输出电流故障条件持续存在，器件会在电流限制状态和热关断状态之间循环。更多有关电流限制的信息，请参阅 [了解限制应用手册](#)。

图 6-3 显示了折返电流限制图。

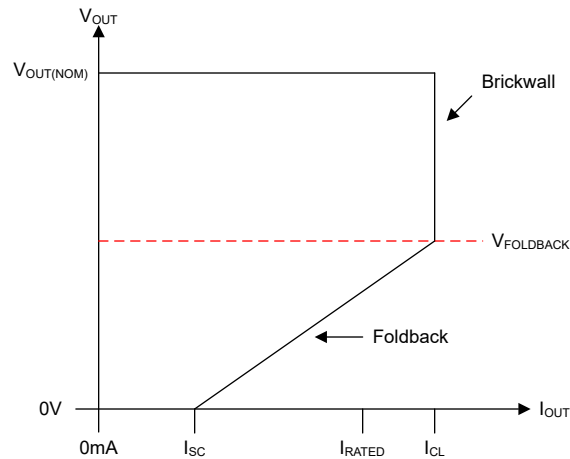


图 6-3. 折返电流限制

6.3.5 零泄漏控制电路

该器件具有内置的零泄漏控制电路。在高温下，导通晶体管漏电流会增加，并开始在高负载条件下影响 V_{OUT} 精度。随着 LDO 两端余量 ($V_{IN} - V_{OUT}$) 的增加，这种泄漏变得更加严重。TPS7B92 有一个内置的零泄漏控制电路，此电路可检测导通晶体管泄漏并为泄漏提供一个接地放电路径。该电路有助于 TPS7B92 在宽 V_{IN} 和温度范围 (-40°C 至 $+125^{\circ}\text{C}$) 内保持更严格的 V_{OUT} 精度。

6.4 器件功能模式

表 6-1 提供了正常运行模式和压降运行模式之间的快速比较。

表 6-1. 器件功能模式比较

工作模式	参数	
	V_{IN}	I_{OUT}
正常	$V_{IN} > V_{OUT(nom)} + V_{DO}$	$I_{OUT} < I_{CL}$
压降	$V_{IN} < V_{OUT(nom)} + V_{DO}$	$I_{OUT} < I_{CL}$

6.4.1 正常运行

在下列条件下，器件的输出电压会稳定在标称值：

- 输入电压大于标称输出电压加上压降电压 ($V_{OUT(nom)} + V_{DO}$)
- 输出电流小于电流限制 ($I_{OUT} < I_{CL}$)
- 器件结温大于 -40°C 且小于 $+125^{\circ}\text{C}$

6.4.2 压降运行

当输入电压低于标称输出电压与指定压降电压之和时，该器件在压降模式下运行。但是，确保满足正常运行所需的所有其他条件。器件在压降模式下运行时，导通晶体管处于欧姆区域或三极管区域并充当开关。由于这种运行，器件的瞬态性能会显著下降。压降过程中的线路或负载瞬态可能会导致输出电压偏差较大。

当器件处于稳定压降状态时，导通晶体管被驱动进入欧姆或三极管区域。此状态定义为器件在正常稳压状态后直接处于压降状态，但在启动期间不处于此状态。在压降期间， $V_{IN} < V_{OUT(NOM)} + V_{DO}$ 。当输入电压返回值 $\geq V_{OUT(NOM)} + V_{DO}$ 时，输出电压会在短时间内过冲。在此期间，该器件将导通晶体管拉回线性区域。 $V_{OUT(NOM)}$ 是标称输出电压， V_{DO} 是压降电压。

7 应用和实施

备注

以下应用部分中的信息不属于 TI 元件规格，TI 不担保其准确性和完整性。TI 的客户负责确定元件是否适合其用途，以及验证和测试其设计实现以确认系统功能。

7.1 应用信息

TPS7B92 LDO 稳压器非常适合用于电池供电应用。该器件在整个负载电流范围内具有低 I_Q 性能，是低功耗微控制器（例如 MSP430）的理想电源。TPS7B92 具有超低电源电流，可更大限度地提高轻负载条件下的效率。该器件在输出电压选择方面具有针对可调配置和固定输出电平的灵活性。这些特性以及高输入电压范围使得该器件非常适合用作楼宇自动化和电动工具中的电源。

7.2 典型应用

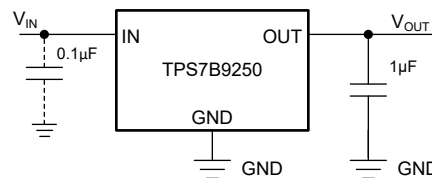


图 7-1. 典型应用电路 (固定电压版本)

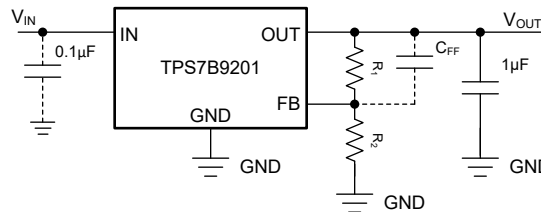


图 7-2. TPS7B9201 可调节 LDO 稳压器编程

注意：虚线表示可选的输入电容器和前馈电容器。请参阅[输入和输出电容器要求](#)和[前馈电容器 \(C_{FF}\)](#)部分以及[建议运行条件](#)表。

表 7-1. 电阻器 R_1 和 R_2 的可调节输出电压

输出电压 (V)	R_1 (M Ω)	R_2 (M Ω)
1.8	0.499	1
2.8	1.33	1
5.0	3.16	1

7.2.1 设计要求

表 7-2 总结了图 7-1 的设计要求。

表 7-2. 设计参数

参数	设计要求
输入电压	12V
输出电压	5.0V
输出电流	100mA

7.2.2 详细设计过程

7.2.2.1 为 TPS7B9201 可调节 LDO 设置 V_{OUT}

如图 7-2 所示，TPS7B92 包含一个可调节版本 (TPS7B9201)，此版本使用一个外部电阻分压器设定输出电压。输出电压工作范围为 1.205V 至 $V_{IN} - V_{DO}$ ，可使用以下公式进行计算：

$$V_{OUT} = V_{REF} \times \left(1 + \frac{R_1}{R_2}\right) \quad (2)$$

其中：

- $V_{REF} = 1.205V$ (典型值)

选择电阻器 R_1 和 R_2 以允许大约 $1.5 \mu A$ 的电流流过电阻分压器。为了忽略 V_{OUT} 公式中的 FB 引脚电流误差项，请将反馈分压器电流设置为 [电气特性](#) 表中所列 FB 引脚电流的 15 倍。使用电阻值较低的电阻器可提高噪声性能，但会消耗更多功率。避免使用较高的电阻值。 R_1 / R_2 上进出 FB 的漏电流会产生一个与 V_{OUT} 除以 V_{REF} 成比例的失调电压。选择 $R_2 = 1M\Omega$ 可将分压器电流设置为 $1.205 \mu A$ 。可根据 [方程式 3](#) 计算 R_1 。图 7-2 展示了该配置。

$$R_1 = \left(\frac{V_{OUT}}{V_{REF}} - 1\right) \times R_2 \quad (3)$$

要进一步了解反馈分压器电流对输出精度的影响，请参阅 [设计电阻分压器时的 \$I_Q\$ 与精度权衡因素应用手册](#)。

7.2.2.2 外部电容器要求

该器件设计为在输入和输出端使用低等效串联电阻 (ESR) 陶瓷电容器实现稳定。多层陶瓷电容器已成为这些类型应用的业界标准并推荐使用，但要结合良好的判断力使用。采用 X7R、X5R 和 C0G 额定电介质材料的陶瓷电容器可在整个温度范围内提供相对良好的电容稳定性。但是，由于电容变化较大，因此不建议使用 Y5V 额定电容器。

无论选择哪种陶瓷电容器类型，有效电容都会随工作电压和温度的变化而变化。通常，预计有效电容会降低多达 50%。[建议运行条件](#) 表中列出的输入和输出电容器的有效电容大约为标称值的 50%。

7.2.2.3 输入和输出电容器要求

尽管不需要输入电容器来实现稳定性，但良好的模拟设计实践是将电容器从 IN 连接到 GND。该电容可抵消电抗性输入源，并改善瞬态响应、输入纹波和 PSRR。如果源阻抗大于 0.5Ω ，请使用输入电容器。如果预计会有较大且快速的上升时间负载或线路瞬变，则需要更高容值的电容。如果器件距离输入电源几英寸，则还需要一个高容值电容器。

通过使用更大的输出电容器来提升器件的动态性能。为了实现稳定性，TPS7B92 需要一个 $1 \mu F$ 或更大的输出电容器 ($0.47 \mu F$ 或更大的电容)。 0.001Ω 和 1Ω 之间还需要一个等效串联电阻 (ESR)。为了获得出色瞬态性能，请使用 X5R 和 X7R 类型的陶瓷电容器，因为这些电容器的值和 ESR 随温度的变化极小。为特定应用选择电容器时，请注意电容器的直流偏置特性。较高的输出电压会导致电容器显著降额。为确保稳定性，请在 [建议运行条件](#) 表中指定的范围内使用输出电容器。

7.2.2.4 反向电流

反向电流过大可能会损坏此器件。反向电流流经 PMOS 导通晶体管的固有体二极管，而不是正常的传导通道。如果幅度较大，该电流会降低器件的长期可靠性。

本节概述了会发生反向电流的条件，所有这些条件都可能超过 $V_{OUT} \leq V_{IN} + 0.3V$ 的绝对最大额定值。这些条件包括：

- 如果器件具有较大的 C_{OUT} 且输入电源崩溃，则负载电流极小或无负载电流
- 当输入电源未建立时，输出被偏置
- 输出偏置至输入电源之上

如果应用中需要反向电流，请使用外部保护来保护器件。器件中的反向电流不受限制，因此如果预计反向电压工作范围会延长，则需要外部限制。如果无法避免反向电流，则将反向电流限制为器件额定输出电流的 5% 或更低。

图 7-3 显示了保护器件的一种方法。

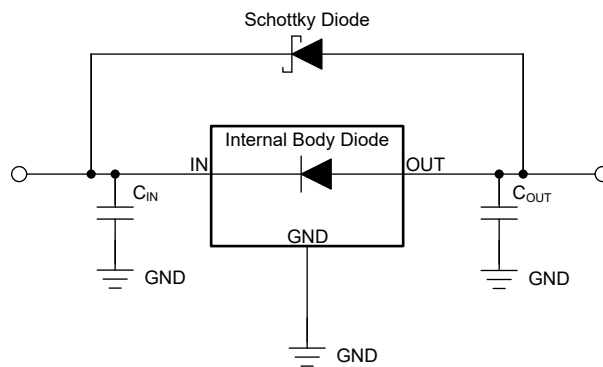


图 7-3. 使用肖特基二极管的反向电流保护示例电路

7.2.2.5 前馈电容器 (C_{FF})

对于可调节电压版本器件，将前馈电容器 (C_{FF}) 从 OUT 引脚连接到 FB 引脚。 C_{FF} 可改善瞬态、噪声和 PSRR 性能，但不是实现稳压器稳定性所必需的。[建议运行条件](#) 表中列出了建议的 C_{FF} 值。使用更高的电容 C_{FF} 会导致启动时间增加。有关 C_{FF} 权衡的详细说明，请参阅 [使用前馈电容器和低压降稳压器的优缺点应用手册](#)。

C_{FF} 和 R_1 在频率 f_z 处的环路增益中形成一个零点。 C_{FF} 、 R_1 和 R_2 在频率 f_p 处的环路增益中形成一个极点。通过以下公式计算 C_{FF} 零点和极点频率：

$$f_z = 1 / (2 \times \pi \times C_{FF} \times R_1) \quad (4)$$

$$f_p = 1 / (2 \times \pi \times C_{FF} \times (R_1 \parallel R_2)) \quad (5)$$

如果反馈分压器电流小于 $5 \mu A$ ，则需要 $C_{FF} \geq 10pF$ 才能保持稳定。[方程式 6](#) 用于计算反馈分压器电流。

$$I_{FB_Divider} = V_{OUT} / (R_1 + R_2) \quad (6)$$

为避免 C_{FF} 导致启动时间增加，请将 $C_{FF} \times R_1$ 乘积限制在 $< 50\mu s$ 。

对于 FB 引脚连接至 OUT 引脚时的输出电压 1.205V，不使用 C_{FF} 。

7.2.2.6 功率耗散 (P_D)

电路可靠性需要考虑器件功率耗散、印刷电路板 (PCB) 上的电路位置以及正确的热平面尺寸。确保稳压器周围的 PCB 区域具有少量或没有其他会导致热应力增加的发热器件。

对于一阶近似，稳压器中的功率耗散取决于输入到输出电压差和负载条件。以下公式可计算功率耗散 (P_D)。

$$P_D = (V_{IN} - V_{OUT}) \times I_{OUT} \quad (7)$$

备注

通过正确选择系统电压轨，可更大幅度地降低功率耗散，从而实现更高的效率。为了实现更低功率耗散，请使用正确输出调节所需的最小输入电压。

对于带有散热焊盘的器件，器件封装的主要热传导路径是通过散热焊盘到 PCB。将散热焊盘焊接到器件下方的铜焊盘区域。确保此焊盘区域包含一组镀通孔，这些通孔会将热量传导至额外的铜平面以增加散热。

最大功耗决定了该器件允许的最高环境温度 (T_A)。根据 [方程式 8](#)，功率耗散和结温通常与结至环境热阻 ($R_{\theta JA}$) 有关。 $R_{\theta JA}$ 元件是 PCB、器件封装和环境空气温度 (T_A) 的组合。

$$T_J = T_A + (R_{\theta JA} \times P_D) \quad (8)$$

[绝对最大额定值](#) 中定义了 TPS7B92 支持的最大峰值功率耗散。功率耗散额定值根据 PCB 配置记录，并基于 2s2p 配置的 JEDEC 标准 (EIA/JESD51-x)。支持的最大功率可为 TPS7B92 提供可靠运行。超过功率限值会导致极端结温 (与结至环境热阻 $R_{\theta JA}$ 相关，[方程式 8](#))。极端温度有可能损坏器件，并可能缩短预期的器件寿命。根据安全操作限值，[图 7-4](#) 显示了余量 ($V_{IN} - V_{OUT}$) 支持的负载电流 (I_{OUT})。

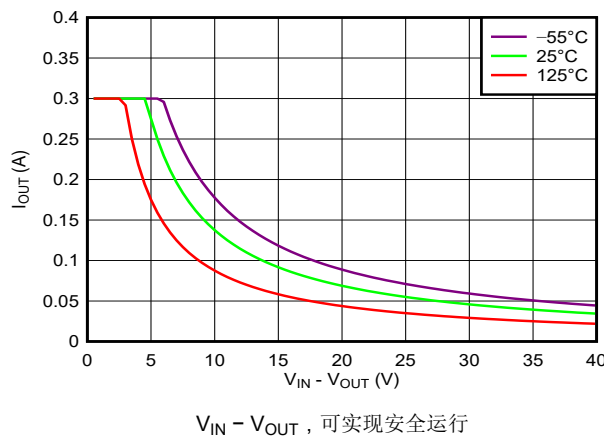


图 7-4. I_{OUT} 与余量 ($V_{IN} - V_{OUT}$) 间的关系

热阻 ($R_{\theta JA}$) 在很大程度上取决于特定 PCB 设计中内置的散热能力。因此， $R_{\theta JA}$ 会根据总铜面积、铜重量和平面位置而变化。[热性能信息](#) 表中列出的结至环境热阻由 JEDEC 标准 PCB 和铜扩散面积决定。 $R_{\theta JA}$ 用作封装热性能的相对测量值。在 PCB 电路板布局布线经过优化的情况下，与 [热性能信息](#) 表中的值相比， $R_{\theta JA}$ 提高了 35% 至 55%。请参阅 [电路板布局布线对 LDO 热性能影响的经验分析应用手册](#)。

7.2.2.7 估算结温

JEDEC 标准现在建议使用 ψ (Ψ) 热指标来估算 LDO 在典型 PCB 板应用电路中的结温。此类指标不是热阻参数，但提供了一种估算结温的相对实用方法。已确定这些 ψ 指标与可用于散热的铜面积明显无关。[热性能信息](#) 表列出了主要的热指标，即结至顶部特征参数 (ψ_{JT}) 和结至电路板特征参数 (ψ_{JB})。这些参数提供了两种计算结温 (T_J) 的方法，如以下公式所述。结合使用结至顶部特征参数 (ψ_{JT}) 和器件封装顶部中间位置的温度 (T_T) 来计算结温。结合使用结至电路板特征参数 (ψ_{JB}) 和距器件封装 1mm PCB 表面温度 (T_B) 来计算结温。

$$T_J = T_T + \psi_{JT} \times P_D \quad (9)$$

其中：

- P_D 是耗散功率
- T_T 器件封装顶部中间位置的温度

$$T_J = T_B + \psi_{JB} \times P_D \quad (10)$$

其中：

- T_B 是在距器件封装 1mm 且位于封装边缘中心位置测得的 PCB 表面温度

有关热指标及其使用方法的详细信息，请参阅 [半导体和 IC 封装热指标应用手册](#)。

7.2.3 应用曲线

在工作温度 $T_J = 25^\circ\text{C}$ 、 $V_{IN} = V_{OUT(NOM)} + 0.5\text{V}$ 或 2.5 (以较大者为准)、 $I_{OUT} = 1\text{mA}$ 、 $C_{IN} = 1\mu\text{F}$ 且 $C_{OUT} = 1\mu\text{F}$ 条件下 (除非另有说明)

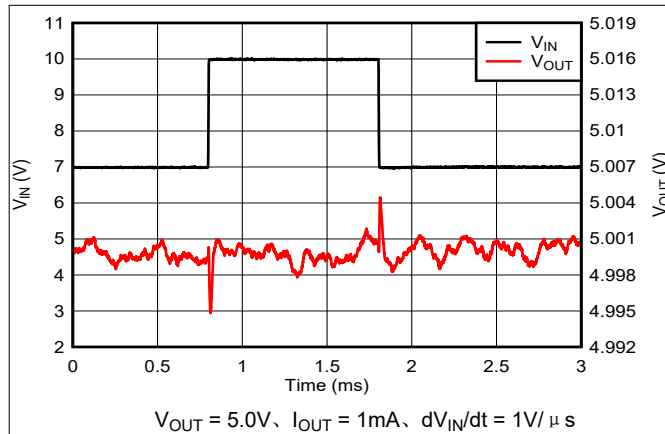


图 7-5. V_{IN} 线路瞬态 (7V 至 10V)

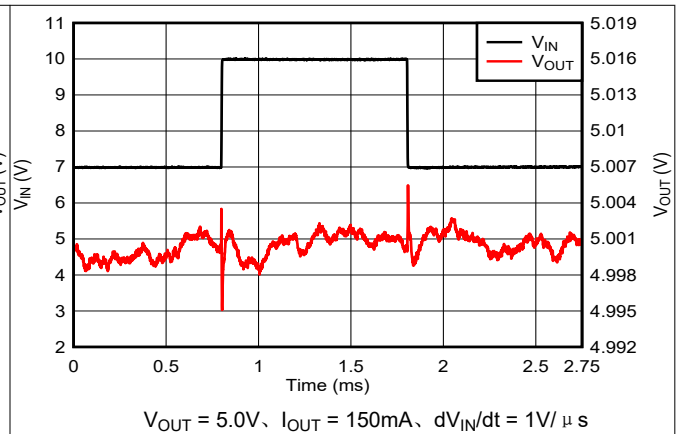


图 7-6. V_{IN} 线路瞬态 (7V 至 10V)

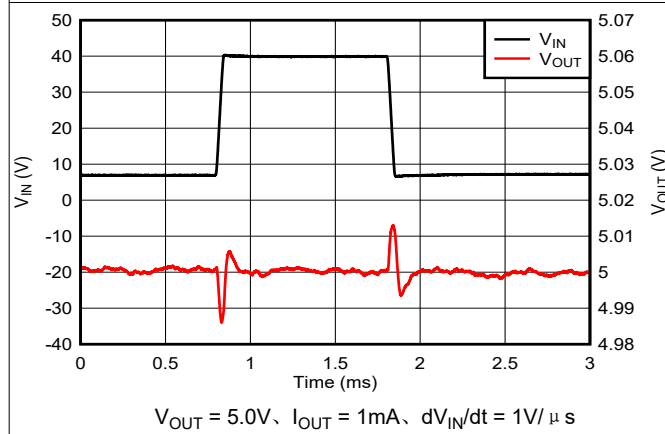


图 7-7. V_{IN} 线路瞬态 (7V 至 40V)

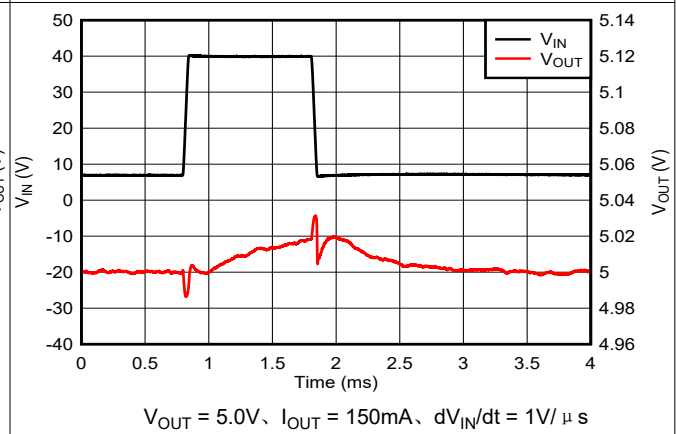


图 7-8. V_{IN} 线路瞬态 (7V 至 40V)

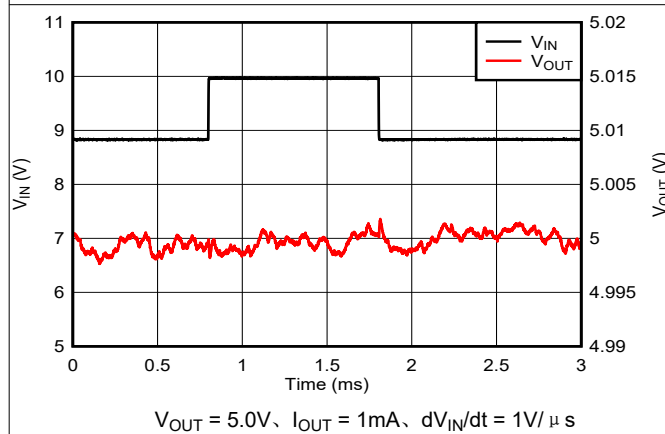


图 7-9. V_{IN} 线路瞬态 (8.8V 至 10V)

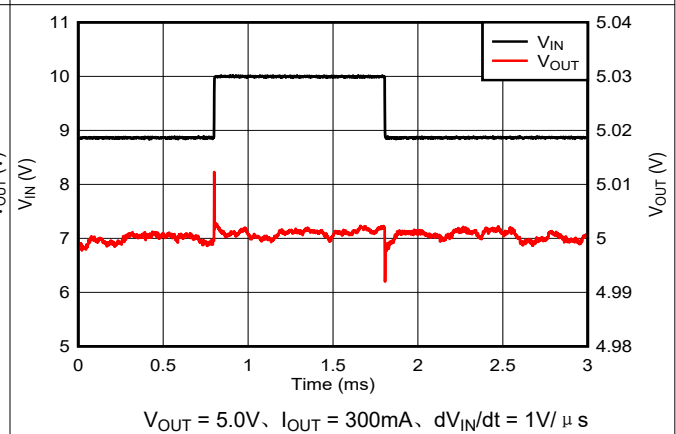
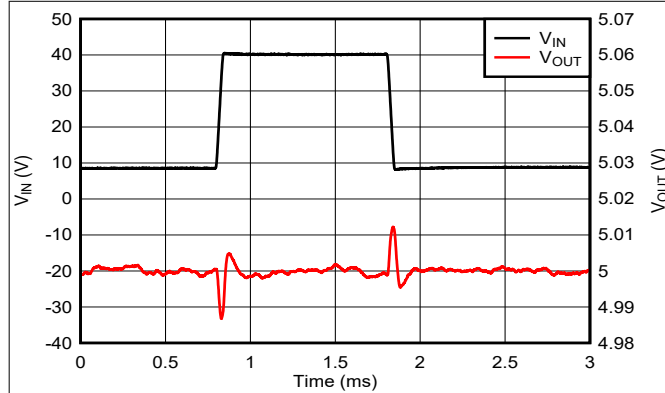


图 7-10. V_{IN} 线路瞬态 (8.8V 至 10V)

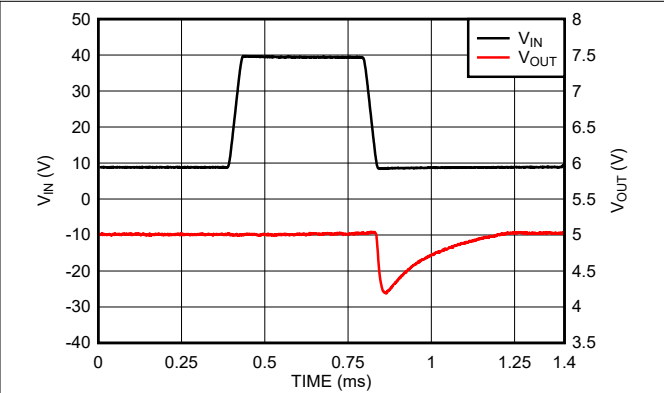
7.2.3 应用曲线 (续)

在工作温度 $T_J = 25^\circ\text{C}$ 、 $V_{IN} = V_{OUT(NOM)} + 0.5\text{V}$ 或 2.5 (以较大者为准)、 $I_{OUT} = 1\text{mA}$ 、 $C_{IN} = 1\mu\text{F}$ 且 $C_{OUT} = 1\mu\text{F}$ 条件下 (除非另有说明)



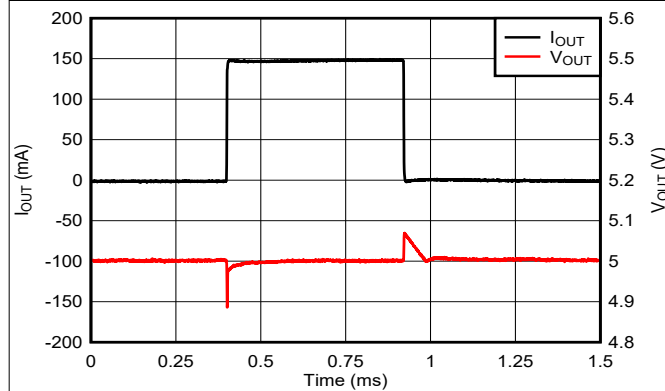
$V_{OUT} = 5.0\text{V}$ 、 $I_{OUT} = 1\text{mA}$ 、 $dV_{IN}/dt = 1\text{V}/\mu\text{s}$

图 7-11. V_{IN} 线路瞬态 (8.8V 至 40V)



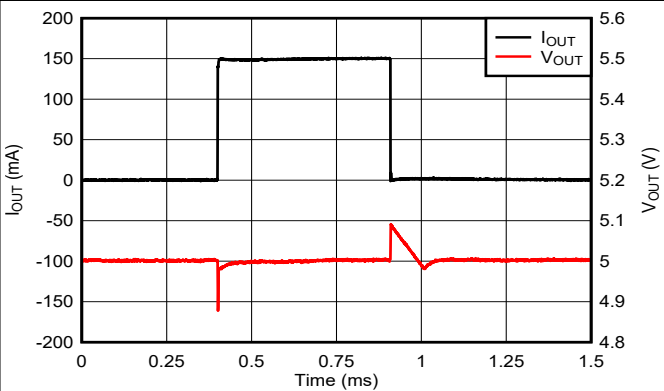
$V_{OUT} = 5.0\text{V}$ 、 $I_{OUT} = 300\text{mA}$ 、 $dV_{IN}/dt = 1\text{V}/\mu\text{s}$

图 7-12. V_{IN} 线路瞬态 (8.8V 至 40V)



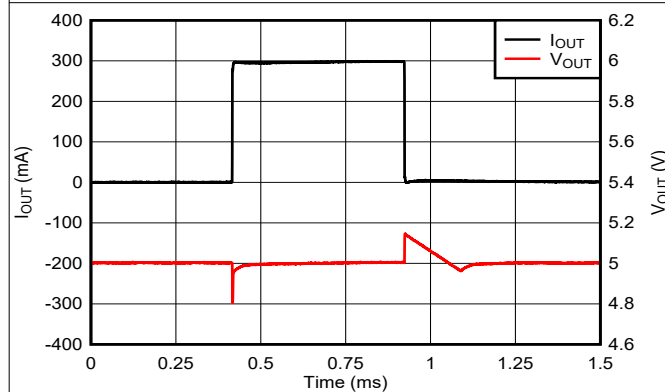
$V_{IN} = 7.0\text{V}$ 、 $V_{OUT} = 5.0\text{V}$ 、 $dI_{OUT}/dt = 0.1\text{A}/\mu\text{s}$

图 7-13. 负载瞬态 (1mA 至 150mA)



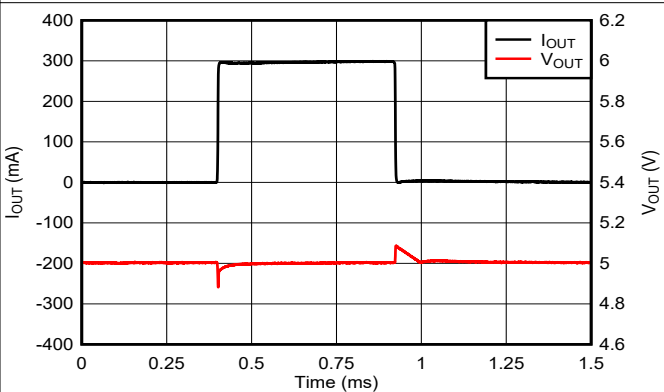
$V_{IN} = 7.0\text{V}$ 、 $V_{OUT} = 5.0\text{V}$ 、 $dI_{OUT}/dt = 1\text{A}/\mu\text{s}$

图 7-14. 负载瞬态 (1mA 至 150mA)



$V_{IN} = 8.8\text{V}$ 、 $V_{OUT} = 5.0\text{V}$ 、 $dI_{OUT}/dt = 1\text{A}/\mu\text{s}$

图 7-15. 负载瞬态 (1mA 至 300mA)

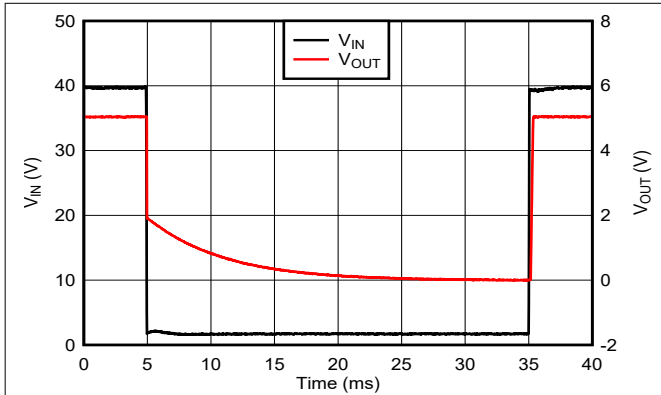


$V_{IN} = 8.8\text{V}$ 、 $V_{OUT} = 5.0\text{V}$ 、 $dI_{OUT}/dt = 0.1\text{A}/\mu\text{s}$

图 7-16. 负载瞬态 (1mA 至 300mA)

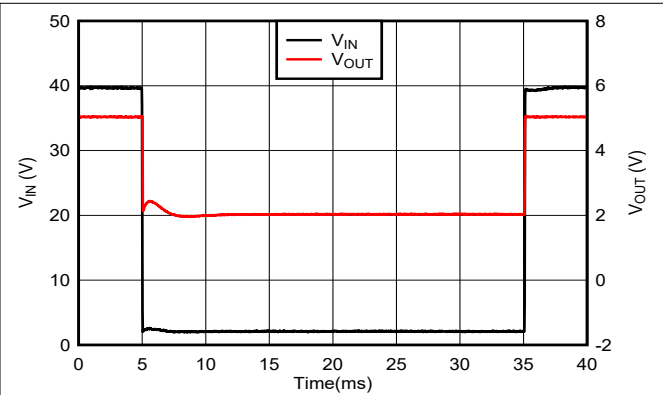
7.2.3 应用曲线 (续)

在工作温度 $T_J = 25^\circ\text{C}$ 、 $V_{IN} = V_{OUT(NOM)} + 0.5\text{V}$ 或 2.5 (以较大者为准)、 $I_{OUT} = 1\text{mA}$ 、 $C_{IN} = 1\mu\text{F}$ 且 $C_{OUT} = 1\mu\text{F}$ 条件下 (除非另有说明)



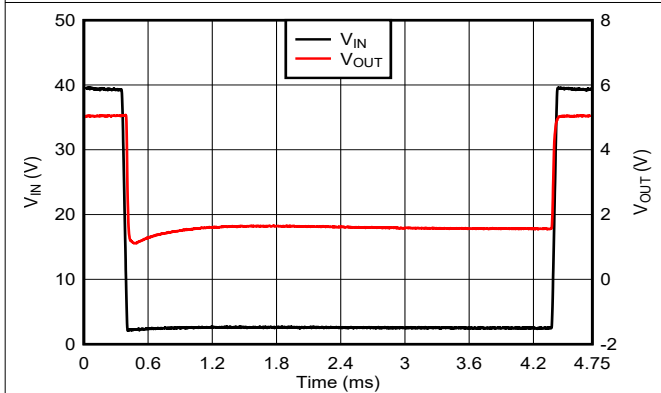
$V_{OUT} = 5.0\text{V}$ 、 $I_{OUT} = 1\text{mA}$ 、 $dV_{IN}/dt = 1\text{V}/\mu\text{s}$

图 7-17. 欠压瞬态 (40V 至 1.7V)



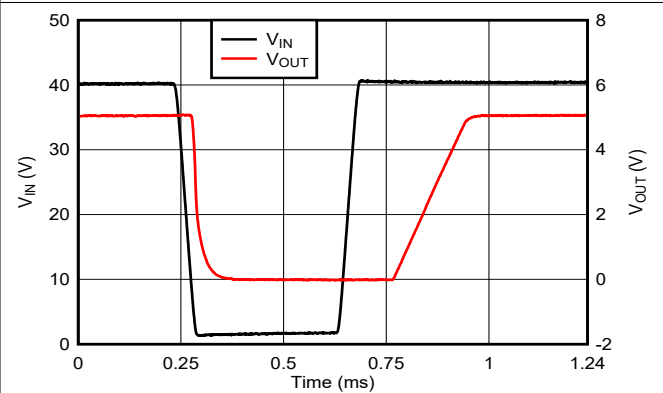
$V_{OUT} = 5.0\text{V}$ 、 $I_{OUT} = 1\text{mA}$ 、 $dV_{IN}/dt = 1\text{V}/\mu\text{s}$

图 7-18. 欠压瞬态 (40V 至 2.1V)



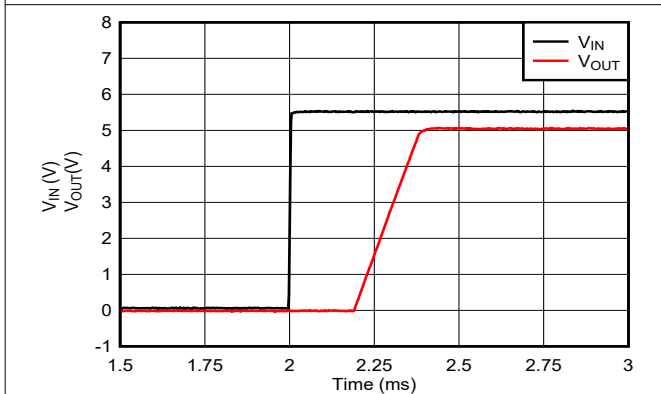
$V_{OUT} = 5.0\text{V}$ 、 $I_{OUT} = 300\text{mA}$ 、 $dV_{IN}/dt = 1\text{V}/\mu\text{s}$

图 7-19. 欠压瞬态 (40V 至 2.5V)



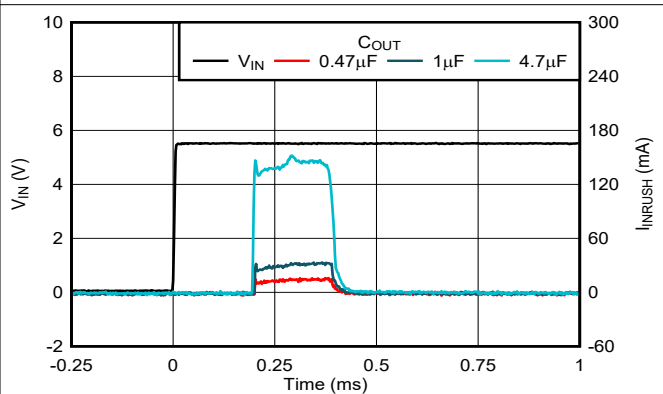
$V_{OUT} = 5.0\text{V}$ 、 $I_{OUT} = 300\text{mA}$ 、 $dV_{IN}/dt = 1\text{V}/\mu\text{s}$

图 7-20. 欠压瞬态 (40V 至 1.7V)



$V_{IN} = 5.5\text{V}$ 、 $V_{OUT} = 5.0\text{V}$ 、 $I_{OUT} = 1\text{mA}$ 、 $R_{OUT} = 5\text{k}\Omega$

图 7-21. 启动



$V_{IN} = 5.5\text{V}$ 、 $V_{OUT} = 5.0\text{V}$

图 7-22. 浪涌电流与输出电容器间的关系

7.3 优秀设计实践

将至少一个 1.0 μF 陶瓷电容器放置得尽可能靠近稳压器的 OUT 和 GND 引脚。

请勿使用长而细的引线将输出电容器连接到稳压器。

将输入电容尽可能靠近稳压器的 IN 和 GND 引脚连接，以获得出色性能。

请勿超出绝对最大额定值。

7.4 电源相关建议

TPS7B92 设计为在 2.5V 至 40V 的输入电源电压范围内运行。输入电压范围为器件提供了足够的余量，以实现稳定的输出。如果输入电源存在噪声，则附加具有低 ESR 的输入电容器有助于提高输出噪声性能。

7.5 布局

7.5.1 布局指南

为了获得理想的总体性能，请遵循本节中的准则。请将所有电路元件放置在印刷电路板 (PCB) 的同一侧，并尽可能靠近各自的 LDO 引脚连接。使用元件侧的宽铜层，将输入和输出电容器的接地回路连接放置在尽可能靠近 GND 引脚的位置。请勿使用过孔和长迹线创建与输入电容器、输出电容器或电阻分压器的 LDO 电路连接，因为这种做法会对系统性能产生负面影响。这种接地和布局方案可更大限度地减少电感寄生效应，从而减少负载电流瞬变，更大限度地降低噪声并提高电路稳定性。还建议使用接地参考平面，该平面嵌入在 PCB 中，或者位于 PCB 底部与元件相对的位置。该参考平面用于提供输出电压的精度并屏蔽 LDO 以使其免受噪声影响。

7.5.1.1 功率耗散

为了提供可靠运行，确保最坏情况下的结温不超过 125°C。该条件限制了稳压器在任何给定应用中可处理的功率耗散。为了确保结温处于可接受的限值内，请计算最大允许耗散 ($P_{D(\max)}$)。此外，还要计算实际耗散 (P_D)，确保其小于或等于 $P_{D(\max)}$ 。

方程式 11 决定了最大功率耗散限制：

$$P_{D(\max)} = \frac{T_{J\max} - T_A}{R_{\theta JA}} \quad (11)$$

其中：

- $T_{J\max}$ 是允许的最大结温
- $R_{\theta JA}$ 是封装的结至环境热阻 (请参阅热性能信息表)
- T_A 是环境温度

方程式 12 用于计算稳压器耗散：

$$P_D = (V_{IN} - V_{OUT}) \times I_{OUT} \quad (12)$$

7.5.2 布局示例

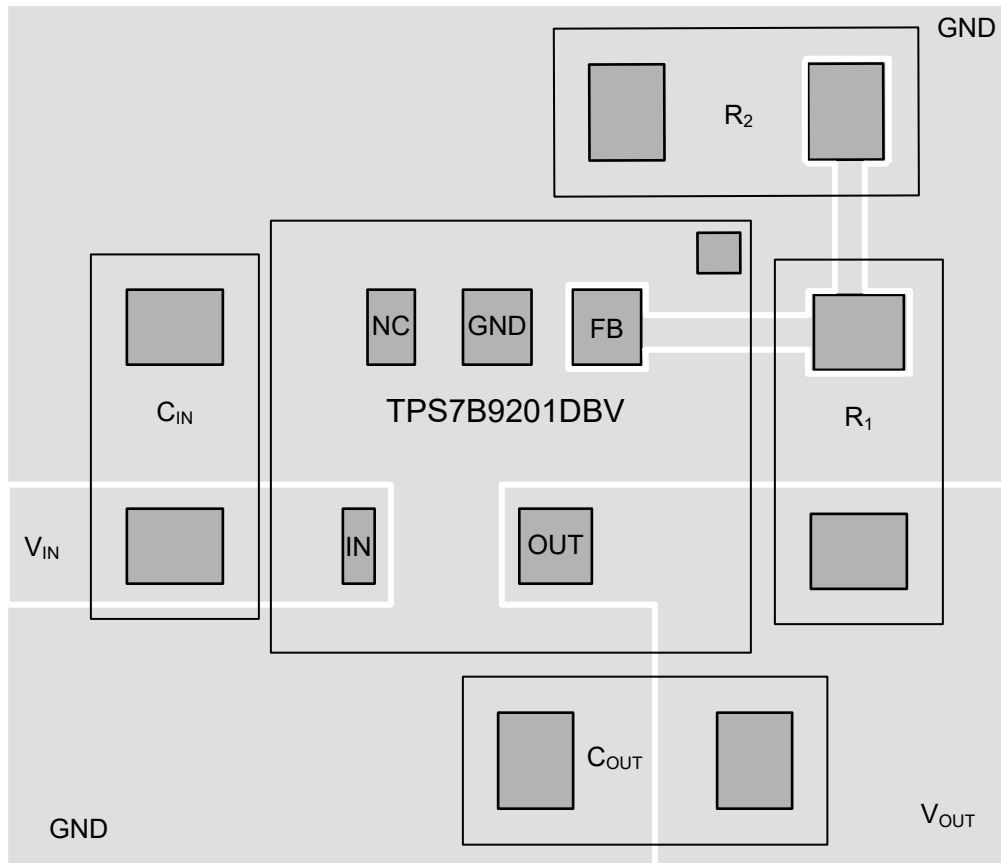


图 7-23. TPS7B9201 的示例布局

8 器件和文档支持

8.1 器件支持

8.1.1 开发支持

8.1.1.1 评估模块

评估模块 (EVM) 可与 TPS7B92 配套使用，帮助评估初始电路性能。[通用 EVM](#) (和相关的[用户指南](#)) 可在 TI 网站上的产品文件夹中申请，也可直接从 [TI 网上商店](#) 购买。

8.1.1.2 Spice 模型

分析模拟电路和系统的性能时，使用 SPICE 模型通常有利于对电路性能进行计算机仿真。您可以从产品文件夹中的 [工具与软件](#) 下获取 TPS7B92 的 SPICE 模型。

8.1.2 器件命名规则

表 8-1. 器件命名规则

产品 ⁽¹⁾	V _{OUT}
TPS7B92 xxDBVz	在 SOT-23 (DBV) 封装中： XX 为标称输出电压 (例如，33 = 3.3V、50 = 5.0V、01 = 可调节)。 Z 为封装数量。

(1) 如需了解最新的封装及订购信息，请参阅本文档末尾的封装选项附录或访问 TI 网站 www.ti.com。

8.2 文档支持

8.2.1 相关文档

请参阅以下相关文档：

- 德州仪器 (TI)，[通用低压降线性稳压器 \(LDO\) 评估模块 用户指南](#)

8.3 接收文档更新通知

要接收文档更新通知，请导航至 ti.com 上的器件产品文件夹。点击 [通知](#) 进行注册，即可每周接收产品信息更改摘要。有关更改的详细信息，请查看任何已修订文档中包含的修订历史记录。

8.4 支持资源

[TI E2E™ 中文支持论坛](#) 是工程师的重要参考资料，可直接从专家处获得快速、经过验证的解答和设计帮助。搜索现有解答或提出自己的问题，获得所需的快速设计帮助。

链接的内容由各个贡献者“按原样”提供。这些内容并不构成 TI 技术规范，并且不一定反映 TI 的观点；请参阅 TI 的[使用条款](#)。

8.5 商标

TI E2E™ is a trademark of Texas Instruments.

所有商标均为其各自所有者的财产。

8.6 静电放电警告



静电放电 (ESD) 会损坏这个集成电路。德州仪器 (TI) 建议通过适当的预防措施处理所有集成电路。如果不遵守正确的处理和安装程序，可能会损坏集成电路。

ESD 的损坏小至导致微小的性能降级，大至整个器件故障。精密的集成电路可能更容易受到损坏，这是因为非常细微的参数更改都可能会导致器件与其发布的规格不相符。

8.7 术语表

[TI 术语表](#) 本术语表列出并解释了术语、首字母缩略词和定义。

9 修订历史记录

注：以前版本的页码可能与当前版本的页码不同

日期	修订版本	说明
April 2024	*	初始发行版

10 机械、封装和可订购信息

以下页面包含机械、封装和可订购信息。这些信息是指定器件可用的最新数据。数据如有变更，恕不另行通知，且不会对此文档进行修订。有关此数据表的浏览器版本，请查阅左侧的导航栏。

TAPE AND REEL INFORMATION

QUADRANT ASSIGNMENTS FOR PIN 1 ORIENTATION IN TAPE


*All dimensions are nominal

Device	Package Type	Package Drawing	Pins	SPQ	Reel Diameter (mm)	Reel Width W1 (mm)	A0 (mm)	B0 (mm)	K0 (mm)	P1 (mm)	W (mm)	Pin1 Quadrant
TPS7B92018DBVR	SOT-23	DBV	5	3000	180.0	8.4	3.2	3.2	1.4	4.0	8.0	Q3
TPS7B92033DBVR	SOT-23	DBV	5	3000	180.0	8.4	3.2	3.2	1.4	4.0	8.0	Q3
TPS7B92050DBVR	SOT-23	DBV	5	3000	180.0	8.4	3.2	3.2	1.4	4.0	8.0	Q3
TPS7B92120DBVR	SOT-23	DBV	5	3000	180.0	8.4	3.2	3.2	1.4	4.0	8.0	Q3

TAPE AND REEL BOX DIMENSIONS


*All dimensions are nominal

Device	Package Type	Package Drawing	Pins	SPQ	Length (mm)	Width (mm)	Height (mm)
TPS7B92018DBVR	SOT-23	DBV	5	3000	210.0	185.0	35.0
TPS7B92033DBVR	SOT-23	DBV	5	3000	210.0	185.0	35.0
TPS7B92050DBVR	SOT-23	DBV	5	3000	210.0	185.0	35.0
TPS7B92120DBVR	SOT-23	DBV	5	3000	210.0	185.0	35.0

重要声明和免责声明

TI“按原样”提供技术和可靠性数据（包括数据表）、设计资源（包括参考设计）、应用或其他设计建议、网络工具、安全信息和其他资源，不保证没有瑕疵且不做任何明示或暗示的担保，包括但不限于对适销性、某特定用途方面的适用性或不侵犯任何第三方知识产权的暗示担保。

这些资源可供使用 TI 产品进行设计的熟练开发人员使用。您将自行承担以下全部责任：(1) 针对您的应用选择合适的 TI 产品，(2) 设计、验证并测试您的应用，(3) 确保您的应用满足相应标准以及任何其他功能安全、信息安全、监管或其他要求。

这些资源如有变更，恕不另行通知。TI 授权您仅可将这些资源用于研发本资源所述的 TI 产品的应用。严禁对这些资源进行其他复制或展示。您无权使用任何其他 TI 知识产权或任何第三方知识产权。您应全额赔偿因在这些资源的使用中对 TI 及其代表造成的任何索赔、损害、成本、损失和债务，TI 对此概不负责。

TI 提供的产品受 [TI 的销售条款](#) 或 [ti.com](#) 上其他适用条款/TI 产品随附的其他适用条款的约束。TI 提供这些资源并不会扩展或以其他方式更改 TI 针对 TI 产品发布的适用的担保或担保免责声明。

TI 反对并拒绝您可能提出的任何其他或不同的条款。

邮寄地址：Texas Instruments, Post Office Box 655303, Dallas, Texas 75265
Copyright © 2024，德州仪器 (TI) 公司